Cronache di Archeologia

Estratto



40
2021

Rivista dell'Università di Catania

Estratto

Cronache di Archeologia

Rivista annuale dell'Università di Catania

fondata da Giovanni Rizza

Direttori: Massimo Frasca, Luigi M. Caliò

Responsabile di redazione: Marco Camera

Comitato di redazione: Rodolfo Brancato, Concetta Caruso, Alessandra D'Izzia, Marianna Figuera, Gian Michele Gerogiannis, Valeria Rita Guarnera, Giulia Raimondi, Simona Todaro

Comitato scientifico: Rosa Maria Albanese (Università di Catania), Lucia Arcifa (Università di Catania), Isabella Baldini (Università di Bologna), Francesca Buscemi (CNR), Fabio Caruso (CNR), Margherita Guglielmina Cassia (Università di Catania), Nicola Cucuzza (Università di Genova), Jacques des Courtils (Université de Bordeaux, Montaigne), Laurence Cavalier (Université de Bordeaux, Montaigne), Akın Ersoy (Kâtip Çelebi Üniversitesi, Izmir), Enrico Felici (Università di Catania), Rossella Gigli (CNR), Giuseppe Guzzetta (Università di Catania), Michael Kerschner (Österreichische Akademie der Wissenschaften), Monica Livadiotti (Politecnico di Bari), Dieter Mertens (DAI), Pietro Militello (Università di Catania), Emilio Oddo (Tulane University, New Orleans), Dario Palermo (Università di Catania), Orazio Palio (Università di Catania), Maurizio Paoletti (Università della Calabria), Antonella Pautasso (CNR), Paola Pelagatti (Accademia dei Lincei), Gürcan Polat (Ege Üniversitesi, Izmir), Santo Privitera (Università di Bologna) Carlo Rescigno (Università Vanvitelli di Capua), Giorgio Rocco (Politecnico di Bari), Elena Santagati (Università di Messina), Sveva Savelli (Saint Mary's University, Nova Scotia, Canada), Umberto Spigo (Assessorato Beni Culturali Regione Sicilia), Edoardo Tortorici (Università di Catania), Henri Tréziny, Monika Trümper (Freie Univesität Berlin), Nikos Tsoniotis (Eforia di Atene)

Gli articoli pubblicati nella rivista sono sottoposti a peer review nel sistema a doppio cieco.

ISSN 2532-8484

© Università di Catania
© Roma 2021, Edizioni Quasar di Severino Tognon s.r.l.
via Ajaccio 41-43, 00198 Roma (Italia)
http://www.edizioniquasar.it/

Tutti i diritti riservati

Il contenuto risponde alle norme della legislazione italiana in materia di proprietà intellettuale ed è di proprietà esclusiva dell'Editore ed è soggetta a copyright.
Le opere che figurano nel sito possono essere consultate e riprodotte su supporto cartaceo o elettronico con la riserva che l'uso sia strettamente personale, sia scientifico che didattico, escludendo qualsiasi uso di tipo commerciale.
La riproduzione e la citazione dovranno obbligatoriamente menzionare l'editore, il nome della rivista, l'autore e il riferimento al documento. Qualsiasi altro tipo di riproduzione è vietato, salvo accordi preliminari con l'Editore.

Estratto

Cronache di Archeologia

40, 2021

Edizioni Quasar

Estratto

Sommario

Henri Tréziny (1948-2021) 7

Cecilia Guastella, Archeologia dei Monti della Conca d'Oro. Grotta del Garrone attraverso lo studio delle ceramiche rinvenute nel 1986 11

Michel Gras, Henri Tréziny, Accampamenti. Megara Hyblaea per un modello 35

Massimo Frasca, I Calcidesi e gli altri. Indicatori archeologici della presenza calcidese nella Sicilia interna in età proto-arcaica 51

Electra Apostola, Panagiotis Kousoulis, Christina. Papadaki, Egyptian and Egyptianizing scarabs in the Aegean (8th-6th c. BC): The Sanctuary of Hera Akraia-Limenia at Perachora as a case study. 61

Adriano Pensallorto, Il territorio di Agrigento tra la caduta di Falaride e l'ascesa di Terone 103

Carla Antonaccio, Shelley Stone, The Hellenistic Period on Upper Cittadella at Morgantina 121

Enrico Procelli, Rosa Maria Albanese, Gisella Verde, L'insediamento sulla Montagna di Ramacca: abitazioni ellenistiche 143

Laurence Cavalier, Jean-François Bernard, Marielle Bernier, Valentina Caminneci, Emilie Cayre, Jacques des Courtils, Dario Giuliano, Alexeï Ivanov, Askold Ivantchik, Nikolaï Sudarev, Mission archéologique «Sanctuaire des divinités chthoniennes d'Akragas»: rapport sur les opérations menées en 2021 173

Vittorio Mirto. Il paesaggio fortificato di monte Erice ed il controllo militare della costa trapanese tra età classica ed età ellenistica 219

Francesca Spadaro, Per una proposta interpretativa delle fortificazioni ellenistiche di Eraclea Minoa 257

Gian Michele Gerogiannis, Le fortificazioni epirote e i *Paraskeuastikà* di Filone di Bisanzio: quale rapporto? 281

Helena Catania, I Compagni del re tra regalità macedone e modelli orientali 297

Estratto

Roger J. A. Wilson (con appendici di David Friesem, Daniella Tsimbaliouk, Jennifer Ramsay, Jonathan Broida, Robyn Veal e Tomoo Mukai), Scavi alla villa romana di Gerace, Sicilia: risultati della campagna 2018 311

Rossella Nicoletti, Rosario P.A. Patané, Nuove indagini presso la Villa del Casale e proposta per adeguamento del percorso di visita 387

Salvina Fiorilla, Giuseppe Guzzetta, Anna Maria Sammito (†), Saverio Scerra, Recenti indagini archeologiche nell'area di San Pancrati a Cava d'Ispica 407

Maria Serena Rizzo, Salvina Fiorilla, Giuseppe Guzzetta, Nuove osservazioni sulle produzioni delle fornaci di S. Lucia ad Agrigento 435

Margherita Cassia, Fra *topos* letterario e realtà economica: l'artigianato metallurgico e tessile nella Cappadocia tardoantica..... 461

Carmela Bonanno, Una stazione di sosta in località Casalgismondo nei pressi della via "a Catina - Agrigentum"..... 477

Estratto

Estratto

Mission archéologique «Sanctuaire des divinités chthoniennes d'Akragas»: rapport sur les opérations menées en 2021

Laurence Cavalier[1], Jean-François Bernard[2], Marielle Bernier[1], Valentina Caminneci[3], Emilie Cayre[1], Jacques des Courtils[1], Dario Giuliano[1,4], Alexeï Ivanov[5], Askold Ivantchik[5,6,1], Nikolaï Sudarev[5,7]

La mission archéologique «Sanctuaire des divinités chthoniennes d'Akragas» a eu lieu du 4 au 24 septembre 2021. Nous n'avions pas pu retourner sur le terrain en 2020 de sorte qu'à la fin de la première convention triennale signée en 2018, nous n'avions effectué que deux missions de fouille et une courte mission post-fouille. Une nouvelle convention triennale a été établie entre le Parc archéologique Vallée des temples d'Agrigente et l'Université Bordeaux Montaigne et nous exprimons ici toute notre reconnaissance à R. Sciaratta, nouveau directeur du Parc archéologique, qui nous a manifesté ainsi sa confiance. Nous avons comme chaque année pu compter sur le soutien indéfectible et l'expertise de nos collègues V. Caminneci, M.C. Parello, M.S. Rizzo et M. Rizzo Pinna que nous remercions pour leur concours et leur amitié. La mission 2021 a été très difficile à organiser en raison de la reprise de l'épidémie (et des restrictions) en Sicile et il a été extrêmement compliqué, pour nos collègues russes et leurs étudiants, de nous rejoindre sur place. Sans l'intervention de l'EFR et, en particulier de sa directrice, B. Marin ainsi que d'E. Bukowiecki, il aurait fallu annuler, au dernier moment, la venue de l'équipe russe. Grâce aux efforts de l'EFR, leur quarantaine à l'arrivée a été réduite à six jours de sorte qu'ils ont pu travailler pendant la dizaine de jours restants. La pandémie nous a par ailleurs privés de la participation de l'équipe américaine. Mais grâce à la bonne volonté, l'énergie et l'implication de tous, nous avons pu mener à bien cette campagne 2021.

L'équipe bordelaise, financée par l'Institut Ausonius (UBM), était composée de L. Cavalier, chef de mission, M. Bernier (CNRS), E. Cayre, J. des Courtils, E. Fournié (Enseignants-chercheurs, chercheur et membre associé), J.-F. Bernard (architecte, IRAA Pau), D. Giuliano, doctorant en co-tutelle Palerme/UBM, L. Cassagneau, S. Corniot, L. Lowitz, L. Thouron (Master sciences archéologiques, Ausonius, UBM).

L'équipe russe sous la direction d'A. Ivantchik était composée d'A. Ivanov (responsable du sondage 4100), N. Sudarev (responsable du sondage 4200), V. Mordvintseva (archéologue), Y. Svoysky et E. Romanenko (spécialiste en géodésie, photogrammétrie et modélisation 3-D), ainsi que de dix étudiants (Master archéologie classique)[8] et une doctorante (E. Boyko). Les étudiants ont également suivi une école de terrain «Formation à l'archéologie grecque» (pour le rapport de l'école, voir: https://iocs.hse.ru/en/news/523102887.html). Outre la documentation habituelle, les sondages ont été documentés avec photogrammétrie et modélisation 3-D. Ce travail a été effectué sur le terrain par Y. Svoysky et E. Romanenko aidés par A. Babkina et V. Strelyaev. Le traitement

1 Institut « Ausonius », Université Bordeaux Montaigne-CNRS, Bordeaux, France
2 IRAA, Pau, France
3 Parco archeologico e paesaggistico Valle dei Templi, Agrigento, Italia
4 Università degli studi di Palermo, Italia
5 Université nationale de recherche École supérieure d'économie, Moscou, Russie
6 Institut d'histoire mondiale de l'Académie des sciences de Russie, Moscou, Russie
7 Institut d'archéologie de l'Académie des sciences de Russie, Moscou, Russie
8 A. Babkina, A. Devaev, Ö. Fettahogly, V. Gerasimova, E. Gorskaya, A. Ivanova, V. Lenchuk, V. Lysenko, X. Mitrokhina, V. Strelyaev.

Estratto

photogrammétrique et post-photogrammétrique ont été effectués par Y. Svoysky, E. Romanenko et E. Nikitina, les plans et les profils ont été préparés par E. Nikitina. Le traitement des photos et des modèles d'objets a été fait par M. Nikitina et A. Ivanova. L'équipe russe a été financé par l'Université HSE (Moscou).

La collaboration franco-russe s'étend désormais à la formation universitaire puisque notre projet de double diplôme de Master d'archéologie classique a été accepté par les deux universités pour un démarrage en 2022. Elle se traduit également par une co-direction de thèse HSE - A. Ivantchik - L. Cavalier (E. Boyko, HSE, «Akragas à l'époque de Théron: problèmes du développement historique et culturel»). En septembre 2021, quatre masters d'archéologie grecque (Ausonius) dont les sujets sont en rapport avec Akragas et/ou la Sicile ont débuté ainsi qu'une thèse en co-direction Cl. Marconi (Université de New York) / L. Cavalier (A. Zanni, «Aux frontières des mondes grec, punique et italique. Influences et évolution de l'architecture monumentale hellénistique en Sicile, du règne de Timoléon au milieu du II^{e} s. a.C.»). Le master «Recherches sur la porte V du rempart d'Akragas» (direction L. Cavalier - J. des Courtils) a été soutenu en novembre 2021 par S. Corniot.

Les sondages ont concerné trois secteurs : le «*tempietto*» (E. Cayre), le portique nord et la «leschè» (A. Ivantchik, A. Ivanov et N. Sudarev) et le rempart à l'ouest de la Porte V (J. des Courtils). Nous avons pu mener à bien notre projet d'enlèvement des blocs qui encombraient l'intérieur du «tempietto» grâce à J.-F. Bernard assisté de D. Giuliano et E. Fournié. Le matériel issu des sondages a été traité partiellement, avec l'aide de L. Lollitz, A. Ivanova et V. Gerasimova, par M. Bernier. D. Giuliano a plus particulièrement étudié les terres cuites architecturales. Les artefacts les plus remarquables ont été photogrammétrés par Y. Svoyski qui, avec E. Romanenko a également réalisé des images photogrammétriques des sondages. J. des Courtils et L. Cavalier ont poursuivi et terminé l'inventaire architectural des blocs remployés ou errants sur la terrasse à l'est de la Porte V et sur la terrasse «des autels circulaires».

A. LA FOUILLE

I. «Le tempietto»

I.1. Enlèvement des blocs (fig. 1)

J.-F. Bernard, E. Fournié et D. Giuliano

Du 6 au 9 septembre, nous avons procédé au dégagement de l'ensemble des blocs qui encombraient l'intérieur du «*tempietto*», afin d'en rendre possible la fouille. Une centaine d'éléments d'architecture, certains de grandes dimensions, ont ainsi été soulevés et déplacés à l'aide d'un engin mécanique. Les blocs ont été alignés dans les espaces libres se trouvant au sud et à l'est du monument. L'exigüité des aires dégagées disponibles à proximité immédiate du «*tempietto*» n'a pas toujours permis de classer les blocs selon des critères typologiques et un aménagement plus soigné pourrait être envisagé dans un second temps (pose des blocs sur des cales en bois, présentation plus claire de l'ensemble).

I.2. Les sondages 2021

E. Cayre - Ausonius

La campagne de 2021 avait pour but, d'une part, de pratiquer des sondages à l'intérieur du *Tempietto* – désormais dégagé suite à l'enlèvement des divers blocs qui l'encombraient – tout en mettant au jour le mur de refend entre le naos et l'adyton – et, d'autre part, d'agrandir le sondage S2100, à l'angle Sud-Est du *Tempietto* (extérieur).

Les sondages suivants ont été ouverts (fig. 2) :

- S2100 (agrandissement), à l'angle Sud-Est et le long du mur Sud du *Tempietto*,
- S2500, à l'intérieur du *Tempietto*, dans l'adyton et dans le naos, de part et d'autre du mur de refend,
- S2600, à l'intérieur du *Tempietto*, dans le coin Sud-Est du naos,
- S2700, à l'intérieur du *Tempietto*, dans la partie centrale du naos.

I.2.1 - S2100

E. Cayre et D. Giuliano

Le sondage S2100 (fig. 2), avait été implanté en 2019 contre l'extrémité Sud du parement externe

Estratto



Fig. 1 - Le *tempietto* avant et après enlèvement des blocs (photogrammétrie © Y. Svoyski / E. Romanenko).

du mur Est (MR2002) du *Tempietto*. La fouille de ce sondage avait permis de dégager, entre autres, deux remblais (US2107 et US2108) contenant de nombreuses phiales en bronze, de dégager la totalité du parement est du MR2002 et de constater que le rocher avait été taillé pour la mise en place des fondations du *Tempietto.*

Ce sondage a été agrandi une première fois de 2 x 2 m vers le Sud puis ultérieurement de 4 x 0,60 m le long du parement Sud du mur Sud (MR2003). Cet agrandissement avait pour but de mieux comprendre la construction du *Tempietto* et son implantation du côté Sud (fig. 3).

Lors de la phase de nettoyage de surface, nous avons entrepris d'enlever 3 blocs, partiellement enterrés qui encombraient l'angle Sud-Est du *Tempietto* : TT019, TT020 et TT018. Ce dernier s'est révélé particulièrement intéressant car il s'agirait d'un bloc de corniche dorique, posé sur son lit d'attente. Le nettoyage de surface a permis de dégager la face d'un grand bloc quadrangulaire (TT134), juste à côté de TT018, et qui s'avère être le même type de bloc dans la même position.

Dans le premier agrandissement vers le Sud, la stratigraphie (fig. 4) débute par l'**US2106**, qui se caractérise par la présence de pierres et de nombreux fragments de tuiles et qui recouvrait l'**US2107** ainsi que l'assise débordante du **MR2002**. La fouille de cette US a permis de dégager la face antérieure et la face de joint du bloc de corniche (TT134) pris dans la berme Sud. L'**US2107**, couche de terre limono-argileuse de couleur marron-jaune assez meuble et homogène dans laquelle avaient été découvertes de nombreuses phiales en bronze en 2019, n'a livré cette année que de rares exemplaires et quelques fragments. C'est sur cette strate que reposait le bloc de corniche (TT134). L'**US2107** recouvrait deux strates différentes: l'**US2108** et l'**US2109**. L'**US2108**, qui consiste en une terre limono-sableuse compacte avec inclusion de petites pierres et cailloutis, a également livré quelques rares phiales entières ou micro-fragments de phia-

Estratto



Fig. 2 - Implantation des sondages (photogrammétrie © Y. Svoyski / E. Romanenko).

Estratto



Fig. 3 - S2100 - Vue depuis l'Est (photo E/ Cayre).

les en bronze. L'**US2109**, située uniquement dans le quart Nord-Est, est une strate peu épaisse qui se caractérise par un sédiment sablonneux de couleur marbrée, noire et jaune. Cette **US20109** et l'**US2012** sous-jacente semblent avoir été excavées sur une bande d'environ 0,70 m (du Nord au Sud) dans la partie médiane de l'agrandissement et l'espace laissé vider a été comblé par l'**US2108** (voir fig. 4) qui recouvre alors le rocher (US2113). Le long des fondations du **MR2002**, l'**US2108** recouvrait l'**US2110**, couche d'environ 5 cm d'épaisseur qui recouvrait aussi bien le rocher que l'**US2111**. Cette dernière – terre limoneuse marron homogène comprenant des grosses pierres (15-20 cm) – comblait la «tranchée de fondation» créée par la taille du rocher (**US2113**), sur environ 40 cm de profondeur, pour la mise en place des fondations du mur est du *Tempietto*. A la différence de 2019, nous avons dégagé, au centre de la limite Est du sondage, une poche (**US2117**) caractérisée par la présence de petits galets à l'interface entre US2017 et US2108. De même, dans l'angle Sud-Est, sous l'US2106 et reposant sur l'US2112, nous avons mis au jour un agglomérat de pierres, grosses à moyennes (**US2115**) (fig. 5). L'**US2112**, terre limono-argileuse compacte très noire, recouvrait le rocher.

A ce stade de la fouille, nous avons décidé d'opérer un second agrandissement du sondage S2100 de 4 m de long sur 0,60 m de large le long du parement Sud du mur Sud (MR2003) (fig. 2 et 3). Dans les trois quarts Est de cet agrandissement nous retrouvons la même séquence stratigraphique : US2107, US2108, US2112, US2110 et US2111[9]. Un changement stratigraphique s'opère sur le dernier quart ouest de l'agrandissement (fig. 6). Nous y avons dégagé l'**US2114**, une couche composée d'une terre fine, sèche et cendreuse, de couleur grisâtre. Cette US2114, qui a été pénétrée par un grand bloc quadrangulaire (TT032 - laissé en place), recouvrait l'US2108. La strate sous-jacente, **US2116**, caractérisée par un sédiment compact de couleur marbrée – noire et jaune – avec inclusion de petit cailloutis, recouvrait le rocher (US2113). Cette différence stratigraphique s'explique par la différence de niveau du rocher. En effet, cet agrandissement le long du parement Sud du MR2003 nous a permis de constater que, au même titre que le côté est, le rocher a été taillé, sur environ 40 cm de profondeur, afin de venir caler les fondations sud du *Tempietto*. Mais ici, l'espace entre le parement des fondations et le rocher taillé est très faible (environ 10 cm). Le rocher ainsi taillé présente qui plus est une surface parfaitement plane. Toutefois, vers le milieu du MR2003, le niveau du rocher s'abaisse d'environ 0,40 m et présente alors une surface irrégulière.

Mur est du Tempietto (MR2002) (fig. 7)

L'agrandissement du sondage S2100, nous a permis de dégager l'angle sud-est du *Tempietto* et par conséquent l'extrémité sud du parement est du **MR2002**. Nous avons ainsi retrouvé l'assise de fondation débordante (H = 0,47 m - Débordement par rapport au parement de l'assise supérieure: L = 0,05 m). Le parement des blocs de cette assise a été taillé de façon à créer une sorte de feuillure au-dessous de l'assise supérieure (Feuillure: H = 0,10 m - Sous l'assise supérieure P = 0,03 m). La première assise du mur (H = 0,45 m) est également débordante par rapport à l'assise supérieure (Dé-

9 Lors du dégagement des US2107 et US2108, des fragments architecturés (cannelures de demi-colonne?) ont été découverts le long de MR2003.

Estratto

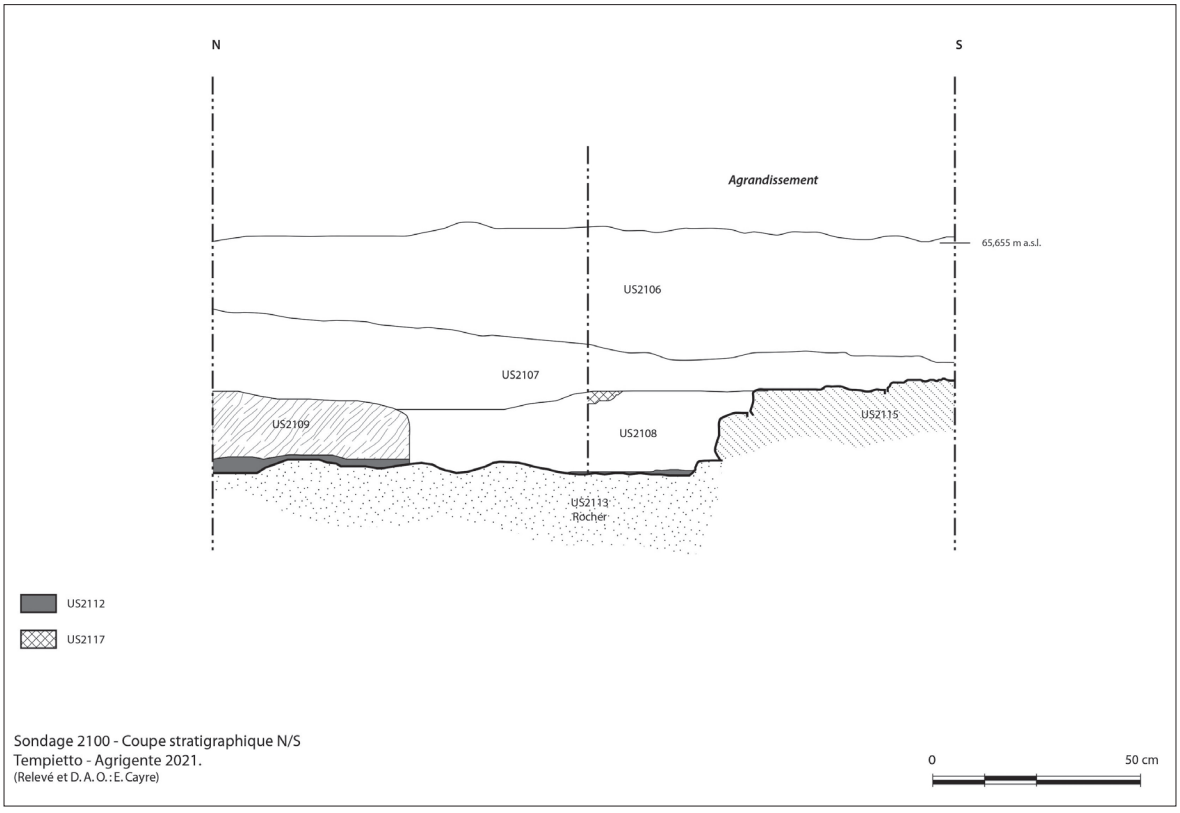


Fig. 4 - Relevé stratigraphique NS.

bordement maximum par rapport au parement de l'assise supérieure: L = 0,09 m). Le parement Est du bloc d'angle présente un genre de feuillure verticale (l = 0,10), à environ 0,20 m du parement Sud. Cette feuillure est suivie d'un effet de pilastre (l = 0,39 m). Ce bloc d'angle dépasse, côté Sud, d'environ 0,08 m au-dessus de l'assise de fondation inférieure. Le parement Est du bloc d'angle de la seconde assise du mur (H = 0,50 m) présente également une sorte de feuillure verticale (l = 0,09 m), à environ 0,14 m du parement Sud. Cette feuillure est plus nettement taillée que celle de l'assise inférieure. Elle est suivie d'une surface proprement dressée mais inachevée. Le bloc suivant, au nord, semble présenter un effet de pilastre (l = 0,40 m) sur sa partie Sud et, sur le reste du parement, une feuillure peu profonde au lit de pose (H = 0,06 m environ)[10].



Fig. 5 - S2100 - Vue depuis l'angle sud du *Tempietto* (photo E. Cayre).

Mur sud du Tempietto (**MR2003**) (fig. 8)

L'agrandissement du sondage S2100, nous a permis de dégager le parement sud du **MR2003**. Contrai-

10 Nous avons constaté le même type de «feuillure» verticale (l = 0,10 m) sur le parement ouest du bloc d'angle de l'assise supérieure des fondations du mur ouest (MR2004).

Estratto

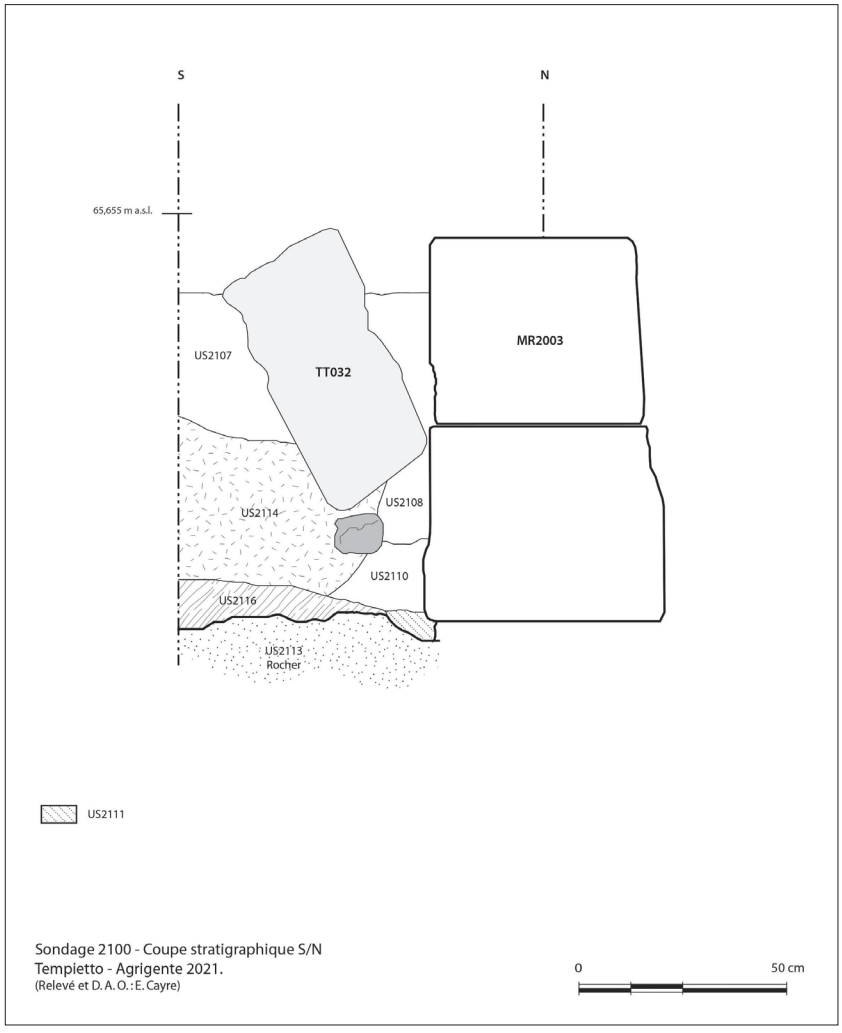


Fig. 6 - S2100 - Relevé stratigraphique SN contre MR2003.

rement au **MR2002**, l'assise de fondation n'est pas débordante. Elle se compose de blocs au parement dressé de manière régulière (H = 0,47-0,50 m). La première assise du mur (H = 0,45 m) présente des irrégularités de construction. En effet, le bloc d'angle dépasse, côté sud, d'environ 0,08 m au-dessus de l'assise de fondation. Ce dépassement est petit à petit amorti jusqu'à ce que le parement de l'extrémité ouest du bloc suivant soit dans l'alignement avec le parement des blocs de l'assise de fondation et des blocs suivant de l'assise. Il reste peu de blocs de la seconde assise du mur (H = 0,50 m) et les rares blocs conservés sont mal conservés. Le bloc d'angle est de ce côté érodé mais le bloc suivant, malgré son pauvre état de conservation, présente sur son parement Sud une feuillure peu profonde au lit de pose (H = 0,06 m environ).

Cette campagne de 2021 a permis de constater que le *Tempietto* est implanté sur un terrain escarpé où le rocher présente une dénivellation importante vers l'Ouest. Le rocher a été taillé sur la moitié Sud et à l'Est pour venir caler les fondations de l'édifice tandis que pour le côté ouest, il a fallu recourir à une assise de fondation supplémentaire pour pallier cette dénivellation.

I.2.2 - S2500

L. Cassagneau et L. Lowitz

Le sondage **S2500** (fig. 2) a été implanté en premier lieu dans l'adyton du *Tempietto*, dans l'axe médian Nord/Sud, sur une emprise de 1,50 m de large par 2,92 m de long entre les murs MR2024 et MR2003 (fig. 9).

Estratto

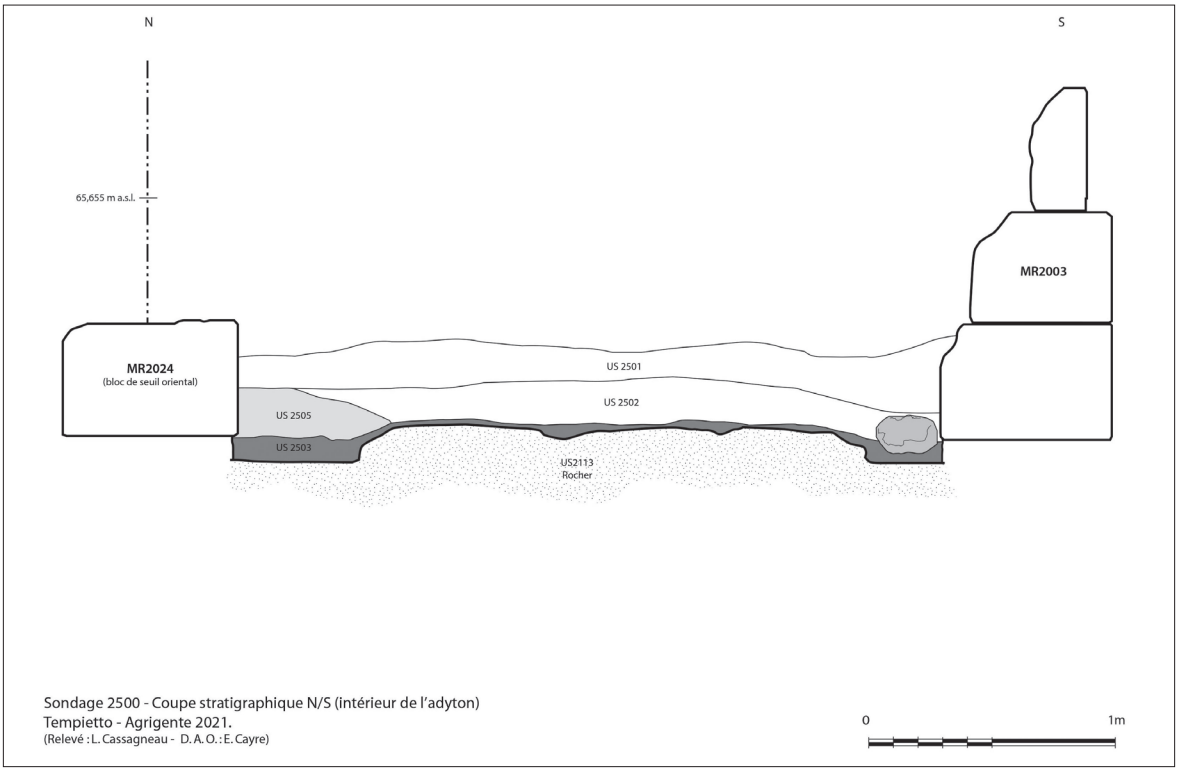




Fig. 8 - S2100 - MR2003 (photo E. Cayre) (Agrigente 2021).

Fig. 7 - S2100 - MR2002 (photo E. Cayre).

Fig. 9 - S2500 - Relevé stratigraphique NS dans l'adyton (Agrigente 2021).



Sondage 2500 - Coupe stratigraphique N/S (intérieur de l'adyton)
Tempietto - Agrigente 2021.
(Relevé : L. Cassagneau - D. A. O. : E. Cayre)

Estratto



Fig. 10 - S2500 - (*adyton*) - US2113 (photo L. Cassagneau).

Le nettoyage de surface, l'**US2501**, constituée d'une terre végétale très meuble et comportant des inclusions de fragments de calcaire coquillier, a livré peu de matériel. Pour l'essentiel, il s'agit de fragments de tuiles, de tessons de céramique commune et de lampes à huile. Des fragments de figurines et d'un pied de *louterion* en terre cuite ont également été retrouvés. Cette US de nettoyage recouvre une couche de sédiment terreux gris plus compact, l'**US2502**, comprenant les mêmes inclusions de calcaire coquillier et des fragments de tuiles
Ces deux premières US ont été soumises à des perturbations dues aux racines et à la présence des blocs qui encombraient l'intérieur du T*empietto*. La strate sous-jacente aux US2502, US2504 et US2505 est l'**US2503** qui présente un sédiment limon-argileux très compact et qui recouvre, sur l'ensemble du sondage, le rocher (**US2113**) (fig. 10).
A ce stade de la fouille, il a été décidé d'agrandir ce sondage du côté nord du **MR2024** dans le naos (fig. 2). L'extension s'étend sur 1,40 m à partir du parement nord du **MR2024** pour une largeur de 1,50 m (fig. 11). Les **US 2506** et **2507** sont très perturbées et comprennent beaucoup de matériel céramique. Les **US2507** et **US2509** recouvrent l'**US2508** composée d'un sédiment noir, cendreux et meuble comprenant de nombreuses inclusions de pierres, dont certaines rubéfiées, de tessons de céramique, de fragments de tuiles et surtout d'un grand nombre de fragments d'os (faune) de petite taille dont la couleur - blanche et noire - indique une température de chauffe assez élevée. Au sud du bloc **TT084**, dans son alignement, est conservée une structure ressemblant à un foyer et qui semblerait être en partie composée par le radier trouvé dans le sondage **S2700**. La couche contient également des morceaux de mortier. Au nord du bloc **TT084**, du mobilier métallique a été retrouvé: des fragments de phiale en bronze, ainsi que deux clous et d'une tablette de défixion percée d'un clou, très abimée. L'**US2511**, localisée contre le parement nord de MR2024, est composée d'un sédiment limono-sablonneux de couleur sombre avec inclusions (pierres calcaires, fragments de stuc et fragments de TCA). L'**US2513**, localisée dans l'angle Nord-Ouest du sondage, est semblable aux **US2507** et **US2711** (sondage voisin) mais se différencie par la présence de moellons. Les **US2508**, **US2511** et **US2513** recouvrent l'**US2514**, plus compacte et caractérisée par une terre limono-argileuse de couleur sombre. Le rocher sous-jacent, **US2113**, semble avoir brûlé à l'est du bloc **TT084**.

I.2.3 - S2600
E. Fournié

Le sondage S2600, d'une emprise de 1 x 1 m, a été implanté à l'intérieur naos du *Tempietto*, dans l'angle sud-est formé par le mur occidental (**MR2004**) et le mur de refend (**MR2024**) (fig. 2 et fig. 12). La présence de blocs architecturaux de grandes dimensions, retirés au début de la campagne, explique l'irrégularité des couches de surface du sondage[11]. L'exploration du sondage a débuté par un nettoyage technique (**US2601**) de la surface perturbée par les opérations d'extraction des blocs. L'**US2602**, composée d'une terre sablonneuse de couleur jaune-orangée, renferme peu d'inclusions présente une concentration de petites pierres à l'approche

11 Dans l'emprise du sondage, l'angle d'un bloc fiché plus profondément a ainsi laissé son empreinte dans la stratigraphie jusqu'à l'US2604.

Estratto

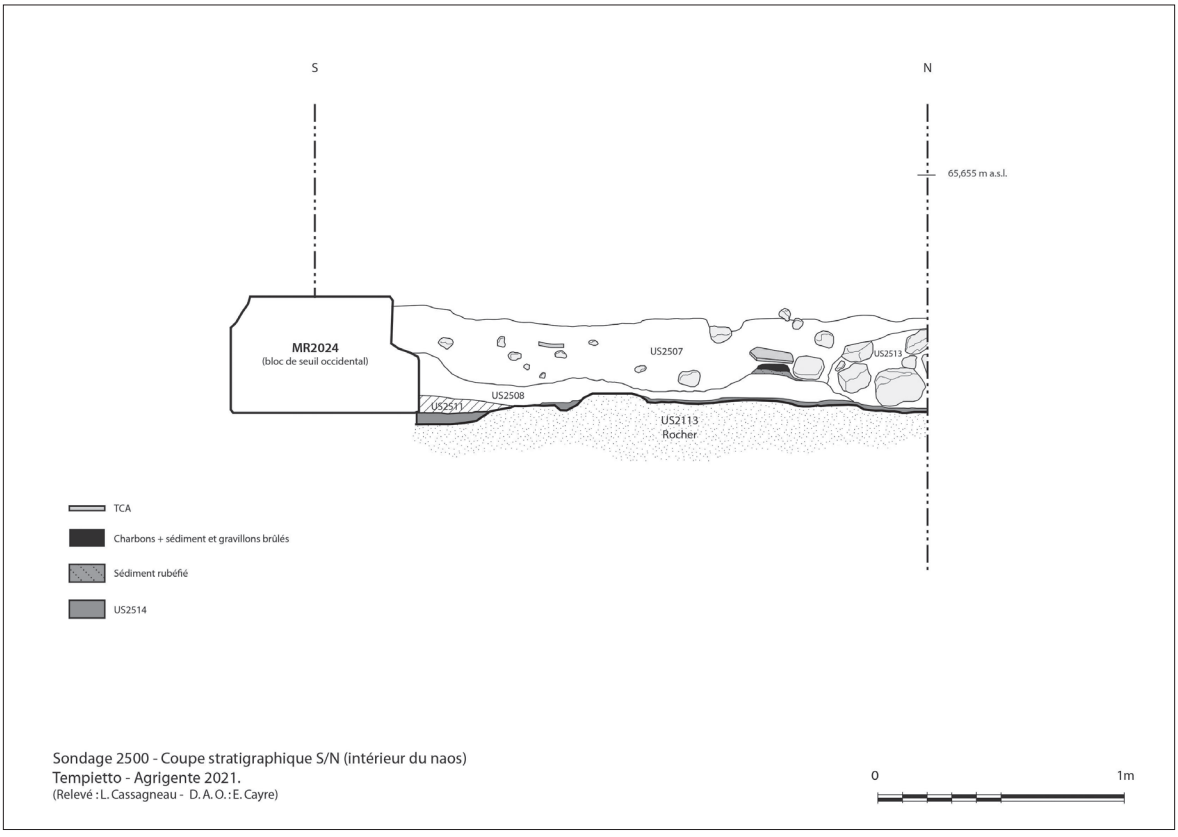


Fig. 11 - S2500 - Relevé stratigraphique SN dans le naos.

du mur de refend MR2024 et de rares nodules de stuc lissé[12].

Le dégagement de cette strate a permis de mettre au jour l'**US2603**, composée d'une matrice limono-sableuse brune, à la surface compacte, caractérisée par de nombreuses inclusions ainsi que par quelques éléments de calcaire brulés, noircis ou rougis. A noter la présence d'une poche charbonneuse, de 0,20 m de diamètre, localisée dans la moitié orientale du sondage. À l'approche de l'angle formé par les murs MR2004 et MR2024, dans la moitié méridionale du sondage, une plus forte concentration en pierres calcaires a également été observée. La couche suivante, **US2604**, est caractérisée par une terre sablonneuse jaunâtre très meuble (calcaire coquillier désagrégé) liant des éléments calcaires et quelques rares fragments de blocs architecturés (dont TT128) (fig. 13). L'assise inférieure des murs MR2004 et MR2024 est apparue lors du dégagement de ces deux couches. Au-dessous, la couche **US2605** est de couleur marbrée, tantôt composée d'une matrice limono-sableuse sombre, tantôt d'un sable jaune coquillier résultant de la désagrégation de blocs. Sa surface est assez compacte puisqu'elle est matérialisée par de nombreuses petites pierres calcaires et quelques rares fragments de stuc lissé. Son dégagement a mis au jour trois unités distinctes: une principale, l'US2606, et deux poches localisées dans l'angle sud-est du sondage (US2607) et dans l'angle Nord-Ouest (US2608). L'**US2606** est une couche limono-argileuse, à tendance sablonneuse, de couleur sombre. Dans l'angle sud-est du sondage, la poche de sable jaune coquillier **US2607** renferme des inclusions d'éléments calcaires de petits modules. Comme

12 Il faut noter la découverte d'un petit fragment de bloc orné d'un *kymation* ionique et d'un éclat centimétrique en terre cuite dont le motif évoque celui des fragments de *louterion* rencontrés dans le sondage S2500, réalisé dans l'adyton. Ces éléments sont à rapprocher du pied de *louterion* fragmentaire déposé au Musée archéologique d'Agrigente et découvert lors des fouilles anciennes menées par E. De Miro dans le *Tempietto*.

Estratto

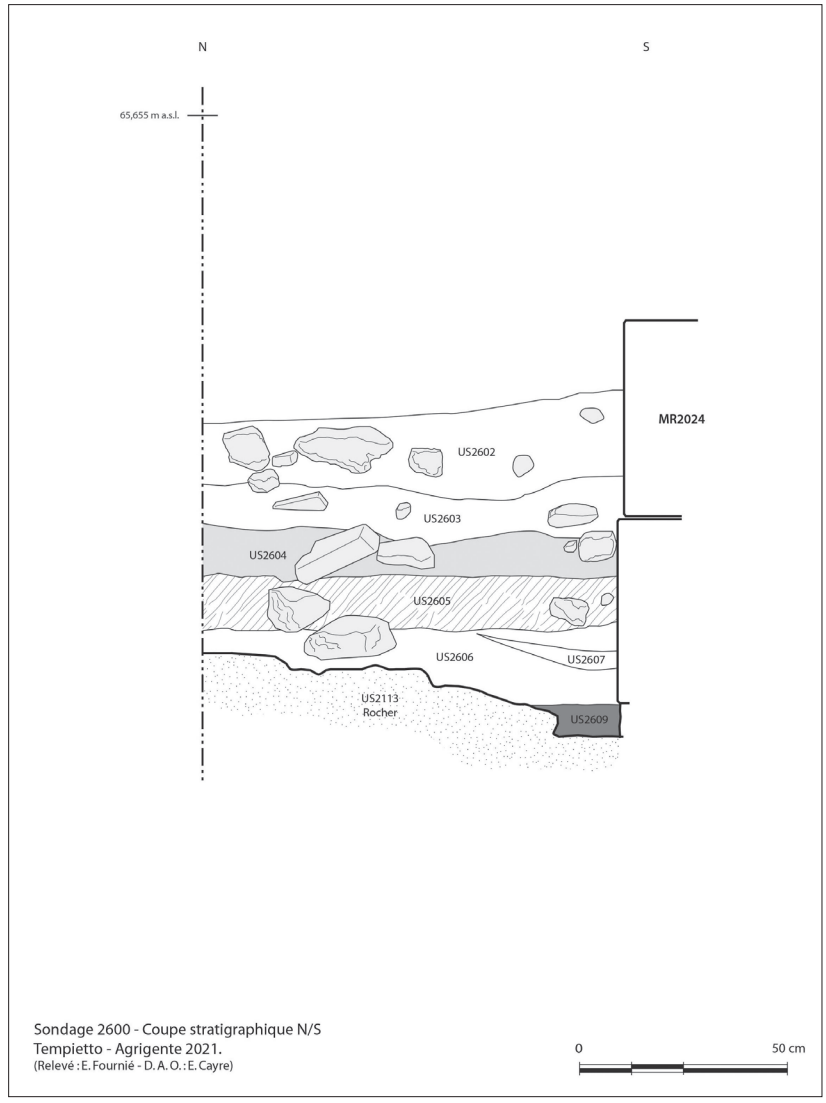


Fig. 12 - S2600 - Relevé stratigraphique NS (Agrigente 2021).

l'US2606, elle repose sur la couche **US2609**. Dans l'angle Nord-Ouest du sondage, la poche **US2608**, est constituée de sable coquillier jaunâtre. Les couches **US2608** et **US2609** reposent directement sur le substrat rocheux **US2113** dont la surface est très irrégulière mais semble avoir été taillée pour accueillir les assises de fondation des murs MR2004 et MR2024. De petits éléments calcaires et une matrice limoneuse (**US2609** ?) calent les blocs de fondation du mur MR2024 déposés sur le substrat rocheux (fig. 14).

La lecture de cette stratigraphie permet d'identifier la nature des niveaux: il s'agit de couches successives de remblais, mises en place pour accueillir un niveau de circulation disparu. L'US2609 sert de



Fig. 13 - S2600 - US2604 (photo L. Cassagneau).

Estratto



Fig. 14 - S2600 - MR2024 (photo E. Cayre).

comblement aux cavités naturelles et d'uniformisation anthropique du substrat pour préparer l'édification du bâtiment. La présence de mobilier commun aux différents secteurs explorés du *Tempietto* tend à prouver la forte perturbation des couches supérieures après l'abandon du site, ou plus simplement le témoignage d'une uniformisation du remblaiement sur la surface totale du bâtiment, à partir de couches anthropisées.

I.2.4 - S2700
E. Fournié

Le sondage 2700 a été implanté à l'intérieur du *Tempietto*, contre le mur MR2004, dans la partie centrale du naos, au pied de la rangée de blocs laissés en place qui occupent la partie nord de celui-ci (fig. 2). L'emprise de la tranchée couvre une surface de 1,15 m (nord-sud) sur 2,95 m (est-ouest) (fig. 15). La surface du sondage a été très fortement perturbée par l'extraction de blocs souvent fichés dans le sous-sol. Après un nettoyage (**US2701**), le décapage s'est poursuivi par le dégagement de l'**US2702**, couche limono-sableuse sombre résultant de l'accumulation de dépôts organiques entre les blocs. Dans la moitié orientale du sondage, deux couches ont été révélées. L'**US2703** est composée d'une matrice limono-argileuse brun-clair liant des blocs calcaires. Elle s'appuie et recouvre partiellement l'**US2705**, de composition proche mais liant de grands blocs calcaires comportant pour certains des faces travaillées. Le dégagement de ces couches a mis en évidence trois états différents dans le sondage. Pour concentrer l'observation sur ces changements, il a été décidé de partager la tranchée en deux secteurs: une zone orientale A et une zone occidentale B.

a. Fouille de la zone A du sondage S2700 (fig. 16)
Le dégagement des US précédentes a révélé la complexité du secteur. Au nord du sondage, la fouille a mis au jour un niveau de circulation (**SOL1**) constitué d'une bande de circulation **US2707**-**US2723**, un radier **US2808** et un remblai de support **US2709**. La bande de circulation **US2707** est localement préservée sous l'emprise des blocs de la deuxième rangée. Elle est composée d'une bande de mortier de chaux blanchâtre comportant des gravillons bleutés de 0,03 à 0,035 m. La granulométrie est plus fine en surface. Elle est renforcée par un support en argile brun-gris tassé, **US2723**, comportant des inclusions millimétriques de gypse, de 0,05 à 0,055 m d'épaisseur. Le radier d'éclats calcaires, **US2708**, est lié par une matrice sableuse orangée comportant localement des graviers et gravillons. Un important remblai, **US2709**, à la surface plane a été déposé pour accueillir ces niveaux. Il s'agit d'une couche limono-argileuse brun foncé, à la surface compacte, renfermant de nombreuses inclusions centimétriques et rarement décimétriques. Au-dessous, un autre remblai **US2715** a été observé. Il est composé d'une matrice limono-argileuse compacte brun noirâtre, renfermant de nombreuses inclusions. Au-dessus du substrat rocheux (**US2113**), la couche **US2717**, sablonneuse et jaunâtre, est riche en gravillons à l'approche du substrat. Comme lui, sa surface est très irrégulière.
Dans l'autre partie de la zone A du sondage, la séquence stratigraphique est loin d'être aussi régulière. Mise au jour sous l'**US2703** et localement sous l'**US2705**, la couche **US2704** semble provenir de la destruction du sol **SOL1** et de son radier

Estratto

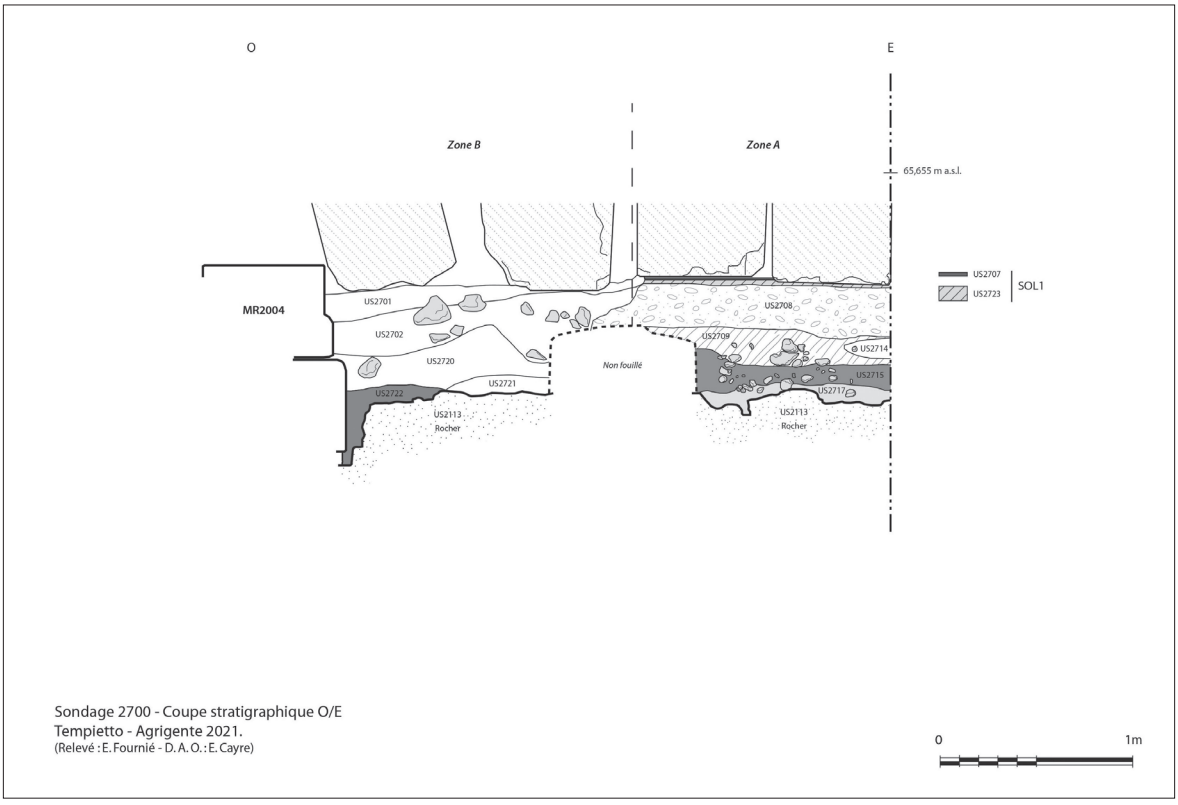


Fig. 15 - S2700 - Relevé stratigraphique OE (Agrigente 2021).



Fig. 16 - S2700 - Berme nord de la Zone A (photo E. Fournié).

(**US2708**) précédemment cité: la matrice orangée est composée de nombreux éclats calcaires et d'inclusions de nodules de mortier. Appuyé contre cette dernière et portant l'empreinte nette d'un bloc basculé, fiché dans le sol[13], l'**US2706** est elle-même constituée d'une très forte concentration en mortier pulvérulent sur sa surface, mais surtout de plaques obliques d'argile renfermant du gypse, contre lequel est collée une bande de mortier blanchâtre. Cette couche résulte de toute évidence du basculement d'une portion du sol SOL1 dans la partie occidentale du sondage. Ce constat sous-entend deux faits: il existait un vide dans la partie occidentale du sondage S2700 (zone B), et un bloc était posé sur les vestiges du sol. La dégradation progressive des niveaux souterrains mis à nu – à tendance sableuse – a provoqué le glissement du bloc entraînant avec lui les vestiges du sol. Le choix a été fait de conserver *in situ* les vestiges du niveau de circulation basculé et ses remblais. Une zone, séparant les zones A et B, demeure donc non-fouillée (fig. 17).

Dans le reste de la zone A, la séquence stratigraphique n'est pas plus régulière (fig. 18). Les niveaux constituant le sol présent de la coupe septentrionale (**US2708-US2709**) débordent sur des remblais perturbés. La stratigraphie met en évidence la présence d'un autre vide dans la partie orientale du sondage. Le sol **SOL1** n'était préservé que sous le bloc basculé. L'**US2715** est en partie recouverte par l'**US2716**, ce

13 Bloc retiré dans les travaux préalables à l'exploration stratigraphique de l'intérieur du Naos.

Estratto



Fig. 17 - S2700 (photo E. Fournié).

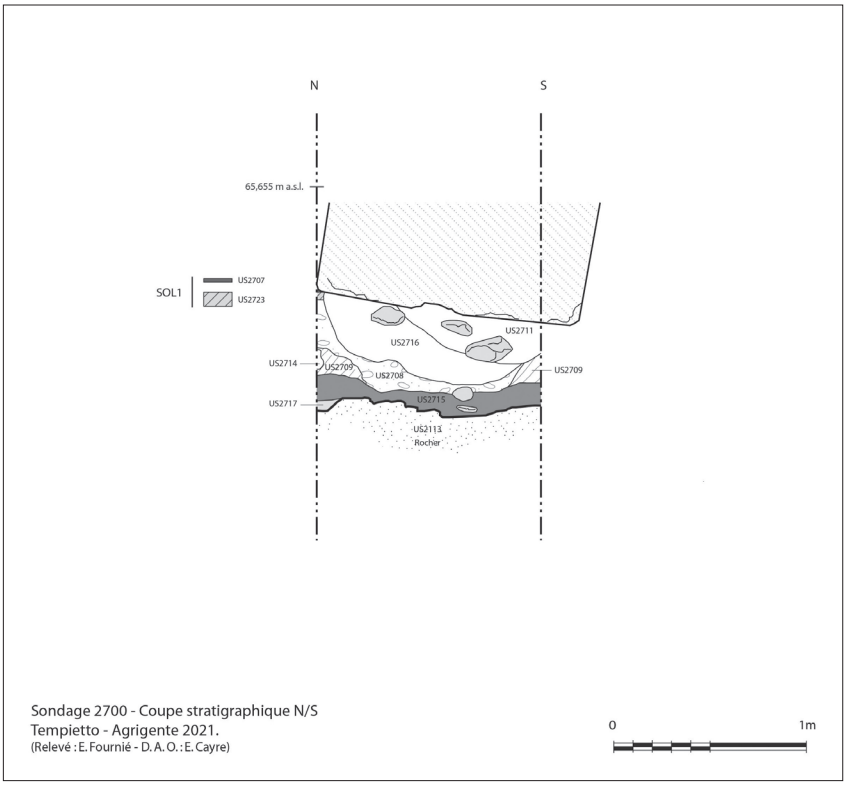


Fig. 18 - S2700 - Relevé stratigraphique NS.

qui laisser penser qu'elle est en place et est liée à celle-ci: ces deux US ne formeraient qu'un seul et même remblai. Les couches **US2705**, **US2711**, **US2712** et **US2713** résultent d'un comblement volontaire de l'espace vide par de nouveaux remblais.

b. Fouille de la zone B du sondage S2700 (figg. 15 et 17)

Le décapage de la couche organique **US2702** laisse partiellement apparaître l'assise inférieure du mur MR2004, se situant environ 0,60 m plus bas que le sol **SOL1** observé dans la zone A. Révélées par ce nettoyage, des poches de sédiments ont été observées auprès de l'**US2706**, correspondant à l'effondrement du sol observé dans la zone A: l'**US2718** est une couche sablonneuse jaunâtre, localisée dans l'angle sud-est du sondage, liant de gros blocs calcaires et comportant de rares inclusions de stuc lissé et de fragments de tuiles; l'**US2719** est une poche de sable co-

Estratto



Fig. 19 - S2700 - US2113 - Zone B (photo E. Fournié).



Fig 20 - S5100 - Vue depuis le Nord (photo S. Corniot).

quillier jaunâtre et de gravillons. L'US2720 sous-jacente, présentant une terre limono-argileuse, à tendance sablonneuse, de couleur foncée et compacte, recouvre l'assise inférieure du mur **MR2004**. Elle recouvre l'**US2021**, une poche sableuse jaunâtre localisée dans l'angle nord-est du sondage et l'US2722 toutes deux au-dessus du substrat (**US2113**), apparaissant alors à une altitude proche de la zone A. Sa surface est néanmoins plus régulière et taillée sur une profondeur de 0,30 m en moyenne afin de recevoir la première assise de fondation du mur **MR2004** (fig. 19). Ce creusement correspond au dénivelé du substrat rocheux US2113 par rapport au sondage S2600. La «tranchée de fondation» et les aspérités du substrat sont comblées par l'**US2722**, limono-argileuse brun-noir.

II. Le sondage S5100
S. Corniot et L. Thouron

La campagne de 2021 avait pour but de poursuivre la fouille sondage S5100 ouvert en 2019, sur le rempart, à l'ouest de la Porte V, en repartant des **US5113** et **US5115** laissées inachevées. Au vu de l'exiguïté de la tranchée de fouille, il a été décidé dans un second temps d'agrandir le sondage d'1 m vers l'Est au Sud du mur **MR5117**. La face Nord de ce dernier a été mise au jour (fig. 20). De faible épaisseur, **MR5117** est composé de moellons avec fragments de tuiles et repose sur l'**US5115**. Au nord de **MR5117**, l'**US5113** est caractérisée par un sédiment compact grisâtre à noir, au sud, nous observons une couche de pierraille (**US5112**) (fig. 21). L'US5115 sous-jacente est un niveau de remblais assez épais (une cinquantaine de centimètres), très riche en mobilier datable en première analyse de la fin du VI^{e} et du V^{e} siècle a.C. La couche suivante (**US5118**), de quatre centimètres d'épaisseur, se différencie par sa couleur jaune et sa surface compacte. Il s'agit d'un niveau de sol en place. L'**US5119** sous-jacente, d'une vingtaine de centimètres d'épaisseur, se compose de moellons posés à plat tandis que l'**US5120** est majoritairement constituée de blocs de grandes dimensions dont certains sont taillés (fig. 22).

Estratto

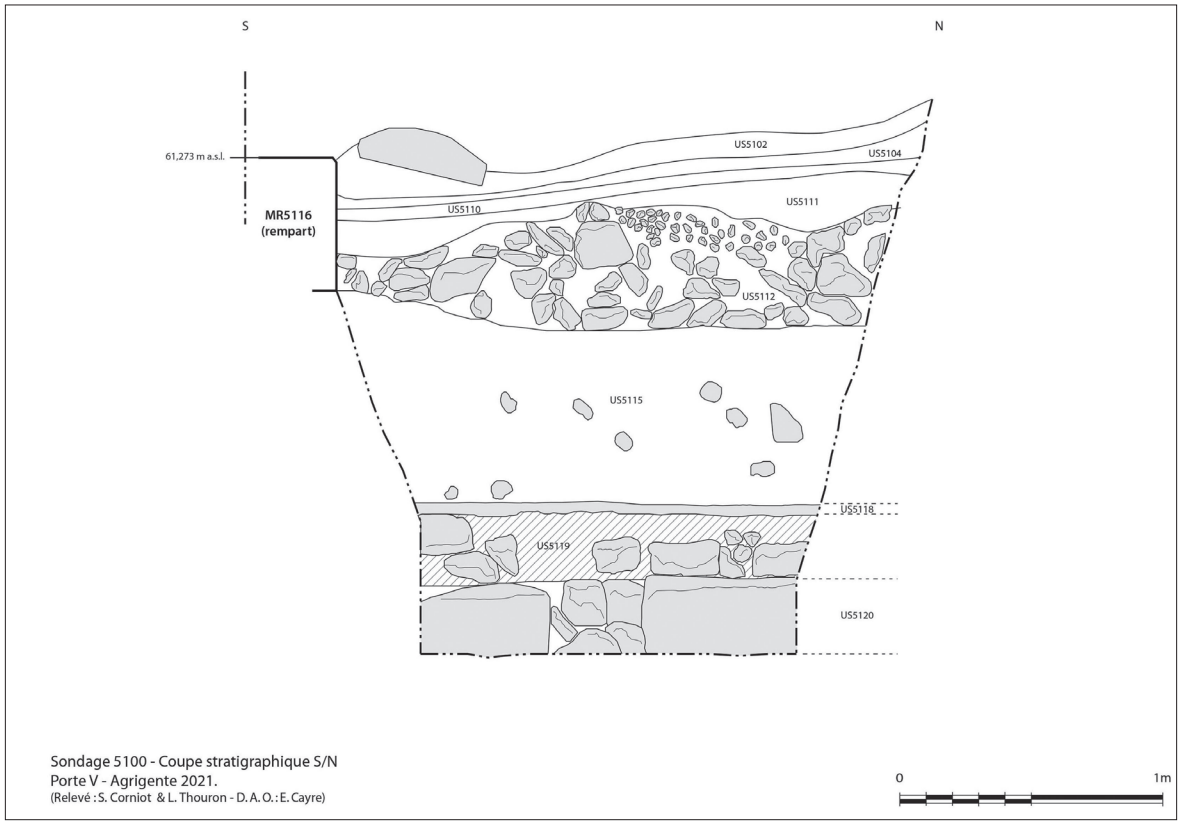


Fig. 21 - S5100 - Coupe stratigraphique SN (Agrigente 2021).



Fig. 22 - S5100 (photogrammétrie © Y. Svoyski / E. Romanenko).

III. Le sondage S4100

A. Ivantchik, A. Ivanov et N. Sudarev

Le sondage a été implanté à l'intérieur d'un ensemble hypothétiquement identifié par E. De Miro comme *leschè*, mais sans définition claire de sa fonction[14]. Situé au nord de la «*piazza lastricata*» du *tempietto* et au sud de la *plateia* est-ouest menant vers les temples I et L, il se compose de trois pièces et a été partiellement mis au jour par les fouilles de E. de Miro dans les années 1960 (fig. 23). Nous avons étudié la pièce orientale, délimitée à l'ouest par le mur MR 12 (fig. 24). La pièce mesure 6 x 4,2 m. Selon le plan publié par E. de Miro, le centre de la pièce, ainsi que la partie orientale près du mur MR 12, avaient déjà été fouillé dans les années 1960

14 Pour les arguments en faveur de cette interprétation, voir: De Miro 2000, pp. 50-51; il remarque «*Il termine lesche sembra aver coperto una larga serie di costruzioni*» (note 60). Pour *leschai* en général, voir Burkert 1993, pp. 19-38 ; Buxton 1994, pp. 40-44 ; Bremmer 2005, pp. 126-137.

Estratto

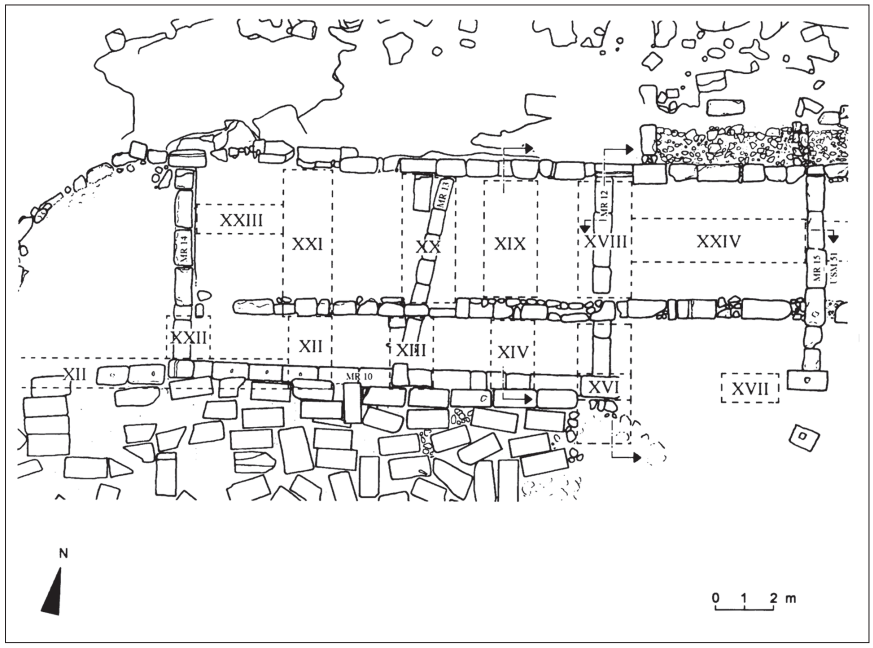


Fig. 23 - Plan de la *leschè* avec les sondages des années 1960 (De Miro 2000, fig. 19).

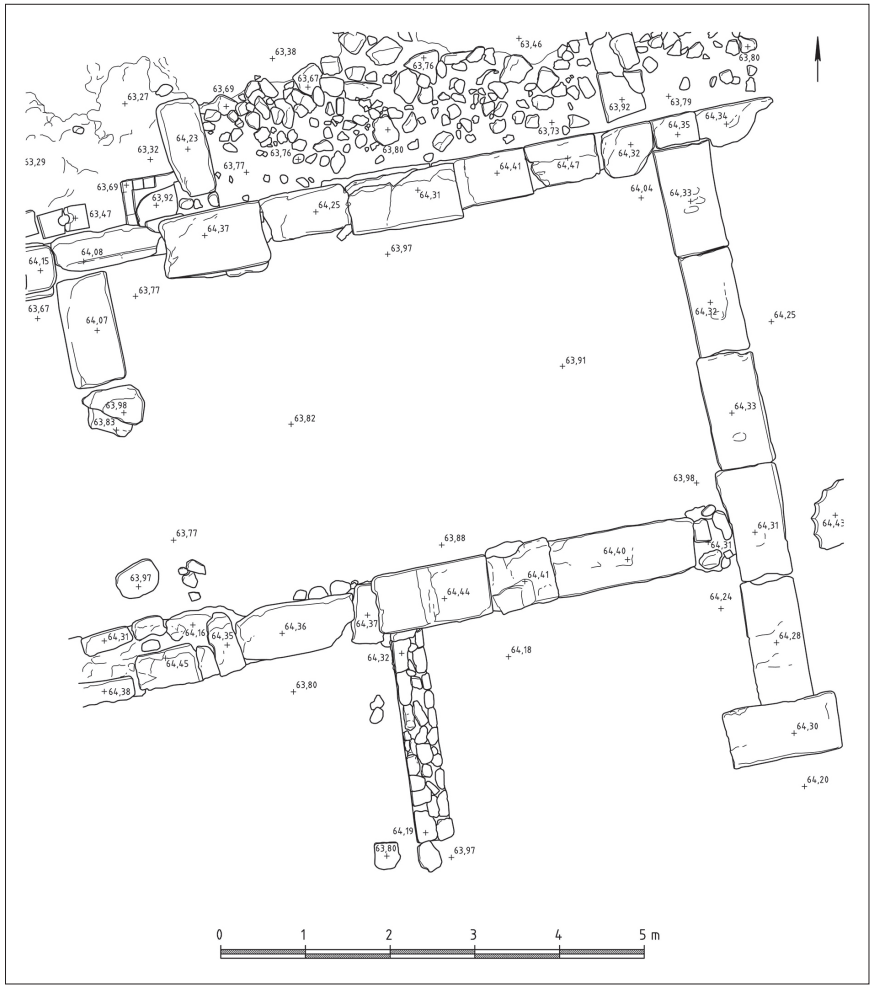


Fig. 24 - S4100 - Etat avant la fouille (Y. Svoysky, E. Romanenko, E. Nikitina).

Estratto

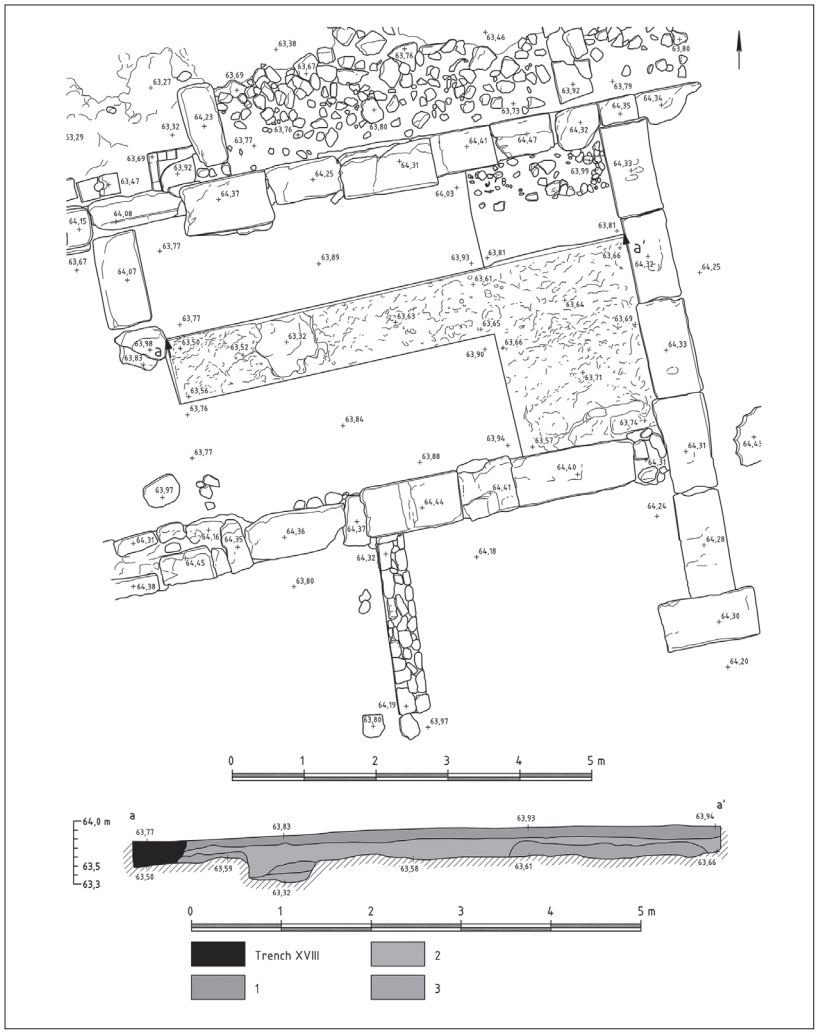


Fig. 25 - S4100. A - Plan du sondage XXIV après la fouille ; B - profil stratigraphique, 1. Couche 1 (US4102) ; 2. Couche 2 (US4106) ; 3. Couche 3 (US4107) (Y. Svoysky, E. Romanenko, E. Nikitina).

(sondages XXIV et XVIII). Nous avons choisi pour notre études les parties non perturbées de la pièce. Les limites du sondage XXIV de E. de Miro ont été identifiées et le sondage lui-même a été vidé jusqu'au rocher (**US4103**, fig. 25A). A l'intérieur du sondage, une fosse creusée dans le rocher a été découverte qui ne figurait pas sur le plan publié. La limite du sondage XVIII près du mur ouest a été également identifiée sur la surface, mais est difficilement discernable sur le profil (fig. 25B); le sondage lui-même n'a pas été vidé. En outre, il a été établi que la partie sud de la pièce, au sud du sondage XXIV, avait également été fouillée précédemment, bien que cela ne soit pas noté dans la publication (**US4105**). En conséquence, notre fouille a été limitée de la partie nord de la pièce (1,75 x 6,0 m) laissée intacte lors des fouilles précédentes.

La stratigraphie publiée par E. de Miro est la suivante :

- Couche 1: sol brun sableux de 0,4-0,5 m d'épaisseur: il s'agit de la couche de remplissage de l'intérieur du bâtiment, associée à la construction du portique plus tardif.
- Couche 2 de 0,15 d'épaisseur: composée de sable compacté, elle correspondait au niveau de circulation de la *leschè*.
- Couche 3: couche noire de 0,15 m d'épaisseur, sur le rocher; tous les bâtiments ont été construits sur cette couche[15].

Nous avons mis en évidence quelques différences. La couche 1 semble avoir été largement mais pas totalement enlevée sur toute la surface du bâtiment, y

15 De Miro 2000, p. 49.

Estratto

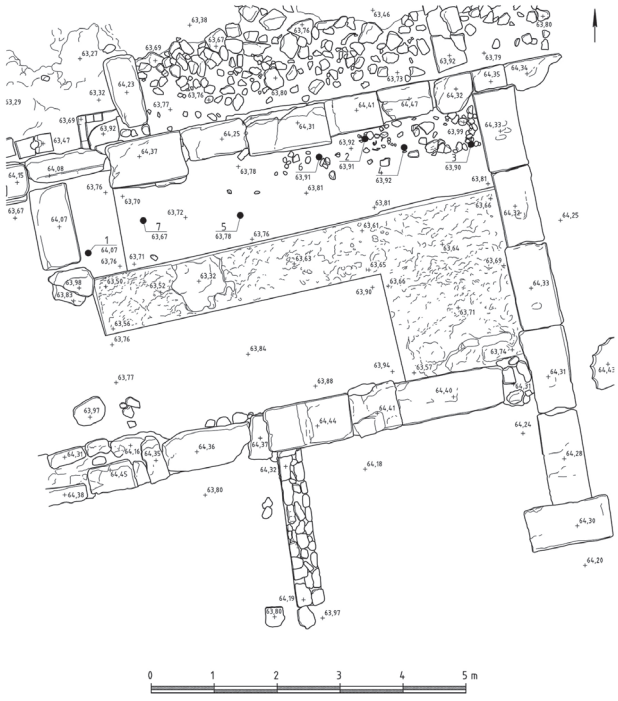


Fig. 26 - S4100 - Plan du niveau de la couche 2 (Y. Svoysky, E. Romanenko, E. Nikitina).

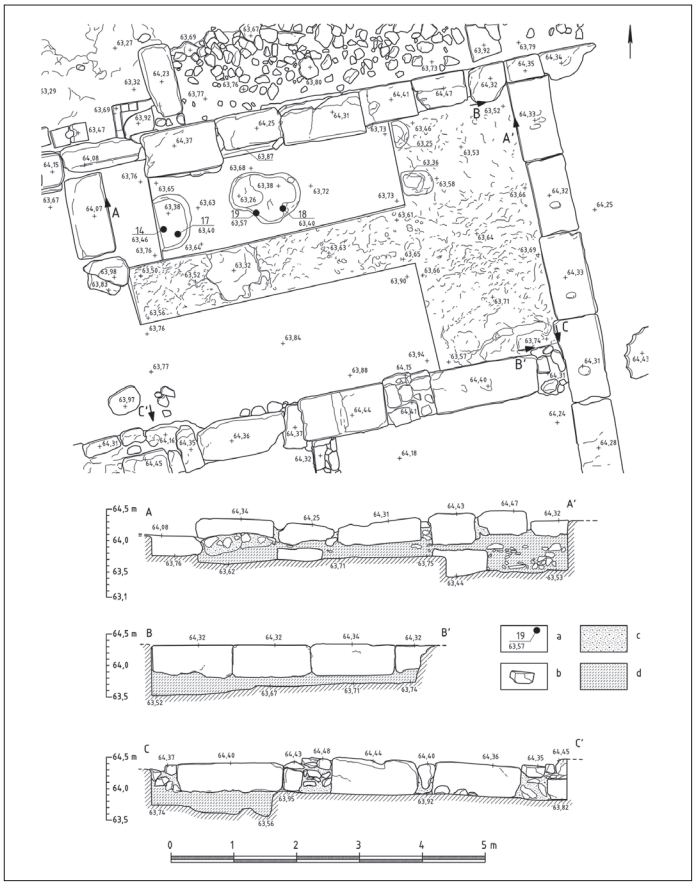


Fig. 27 - S4100 - État final. A - plan; B - élévations (Y. Svoysky, E. Romanenko, E. Nikitina).

Estratto

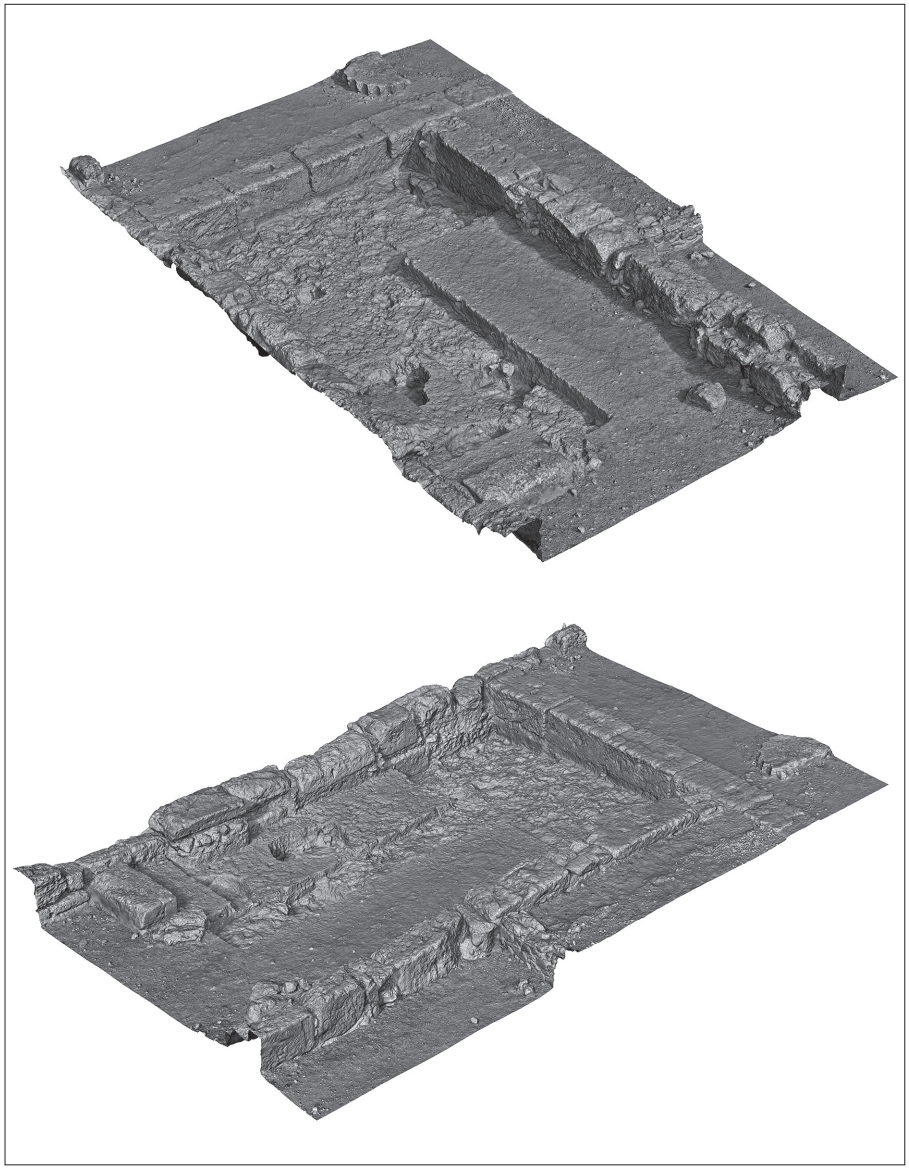


Fig 28 - S4100 - État final. A - vue du nord-ouest ; B - vue du sud-ouest (modèle 3-D Y. Svoysky, E. Romanenko).

compris dans la pièce que nous avons étudiée (voir fig. 24). Nous avons d'abord retiré une couche mixte de 0,1 m d'épaisseur (**US4101**) dans laquelle se trouvaient mêlés artefacts modernes et anciens. Trois couches ont été ensuite identifiées (fig. 25B). La première (**US4102**) est jaune-brun et a une épaisseur allant jusqu'à 0,1 m ; elle correspond apparemment à la partie inférieure de la couche 1 de E. De Miro. Le matériel est hétérogène: un fragment de céramique non tournée de la fin de l'âge du bronze, des silex travaillés, ainsi que des fragments de cotyles miniatures corinthiens, d'un vase attique à vernis noir, un bec d'une lampe, et une lèvre d'une amphore gréco-italiote du type MSG V datant de 275-250 av. J.-C.[16] et qui donne un *terminus post quem*.

Une couche sableuse (**US4106**) qui semble correspondre à la couche 2 de E. De Miro se trouve sous la couche 1. Cette couche est antérieure à la construction des murs nord et sud (fig. 26 et fig. 28) du portique tardif et est synchrone avec le mur est de la pièce (MR 15). Trois dépôts votifs ont été trouvées dans cette couche, semblables à ceux découverts précédemment par E. De Miro dans les parties de la structure qu'il

16 Vandermersch 1994, p. 77 ; Gassner, Sauer 2015, cat. 15.

Estratto



Fig. 29 - S4100 - Dépôt votif Est, US4104 (photo A. Devaev).

a fouillée[17]. L'un d'entre eux (est) (**US4104**, fig. 26, *2-4,6* et fig. 29) se trouve dans la partie supérieure de la couche. Le dépôt semble avoir été déplacé, comme la majorité des dépôts découverts par E. De Miro[18]. L'offrande contenait des fragments de céramique, un bracelet en bronze, des vases votifs, dont un hydrisque (fig. 30A) et une coupe miniature semblable à d'autres coupes découvertes par E. de Miro[19] (fig. 30B). Les hydrisques miniatures de ce type, une offrande particulièrement courante dans les sanctuaires de Déméter[20], sont datables à partir du milieu du VI^e^[21] jusqu'au IV^e^ siècle av. J.-C.[22]; les coupes sont de même date. Des fragments de coupe attique représentant des satyres et des ménades dansants, dont la majorité provient de l'**US4106**, ont également été trouvés dans ce dépôt. De toute évidence, le vase faisait partie de ce dépôt avant son déplacement.

Le second dépôt (**US4108**, figg. 26, *5*; 27, *18,19*) se trouvait dans la partie centrale de la zone fouillée

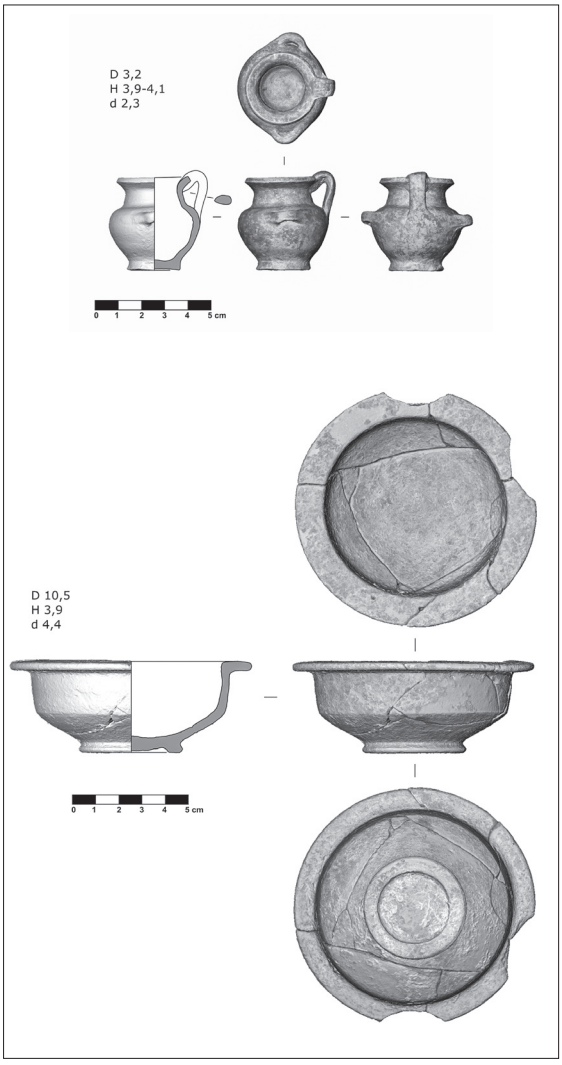


Fig. 30 - S4100 - Vases miniatures votifs (US4104). A - hydrisque; B - coupe (Y. Svoysky, E. Romanenko, M. Nikitina).

et était placé dans une fosse de 0,65 m de diamètre partiellement creusée dans le rocher (fig. 31). Le dépôt comprenait des fragments de céramique peinte corinthienne, dont un représentant l'aile gauche de la *Gorgone*[23], d'un *louterion*, semblable à ceux trouvés par E. de Miro[24], de vases à figures noires, d'un *skyphos* de classe Heron[25], de coupes miniatures io-

17 De Miro 2000, pp. 49-50 (six dépôts).
18 De Miro 2000, p. 49.
19 De Miro 2000, tav. CXXXIX, 91, 92, 94, 96.
20 Dunbabin 1962, pp. 311-312; Poli 2006, p. 242.
21 Liseno 2004, p. 101.
22 Poli 2006, pp. 239-244 ; Damyanov 2015, pp. 126-128. A Akragas, ils sont attestés dans un contexte de la seconde moitié du V^e^ siècle av. J.-C.: Fiorentini 2011, p. 114.

23 Les ailes de ce type se rencontrent le plus souvent sur les repésentations de Gorgones en course ou des Boréades à quatre ailes, cf. Payne 1931, pp. 83-87, p. 325, No. 1389, 329, No. 1471; Dunbabin 1962, p. 148, No. 1563. Ces représentations datent de la période corinthienne récente I (ca. 575-550 av. J.-C.).
24 De Miro 2000, tav. CXLV.
25 Beazley 1956, pp. 617-628; Trombi 2007, p. 760.

Estratto

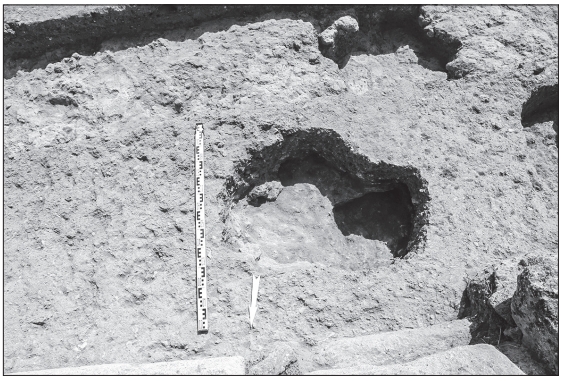


Fig. 31 - S4100 - Fosse avec un dépôt votif (US4108) (photo A. Devaev).

niennes, des lampes du type 19A de l'*Agora* (525-480 av. J.-C.)[26], des fragments de figurines en terre cuite, notamment une de Démeter *Kourotrophos* portant Korè sur son épaule[27], de phiales en bronze. Cette US contenait également un fragment d'amphore punique de la fin du II^e^ - I^er^ siècle av. J.-C.[28] et d'une amphore gréco-italiote du type MSG V[29] des années 275-250 av. J.-C. Leur présence dans le dépôt, à côté de matériel archaïque, indique que le dépôt a été également déplacé de sa position d'origine. Il semble avoir été placé dans une fosse creusée spécialement à cet effet, sans doute lors de la construction du portique.

Le troisième dépôt (**US4109**, figg. 26, *7*; 27, *14-17*) se trouve dans une fosse partiellement coupée par des fouilles antérieures. La fosse est peu profonde, mesure 0,84 x 0,56 m à l'embouchure, et a été remplie de terre jaune-brun clair. Le remplissage contenait des fragments d'une phiale de bronze et un fragment d'un vase attique à figures noires datable de la fin du VI^e^ et du début du V^e^ siècle av. J.-C. ainsi que des fragments des lampes semblables à celles du deuxième dépôt et des fragments de statuettes en terre cuite.

La couche 2 (**US4106**) contient un matériel assez abondant: fragments d'amphores, notamment d'une amphore punique de 520-480 av. J.-C.[30], bols ioniens miniatures de 580/570-494 av. J.-C.[31], vases votifs corinthiens du VI^e^ et du début du V^e^ siècle av. J.-C.[32], des cotyles corinthiens datables entre la seconde moitié du VI^e^ et la fin du V^e^ siècle av. J.-C.[33] ainsi qu'une petite pyxide de même origine (ou une imitation locale) datable du milieu et de la seconde moitié du VI^e^ siècle av. J.-C.[34] Des fragments d'une coupe attique du *Little Master* groupe, représentant des satyres et des ménades dansants, ont été trouvés à divers endroits de la couche (fig. 32). Elle appartient à l'un des quatre peintres *Amasis, Oakeshott, Centaur* ou *Agora 1241 Painters*[35], le plus probablement au dernier qui date des années 530 av. J.-C. Le matériel est donc assez homogène du point de vue chronologique et suggère la date du dernier quart du VI^e^ - début du V^e^ siècle av. J.-C. On note cependant la présence d'un fragment isolé de vase attique à figures rouges de la seconde moitié du V^e^ siècle av. J.-C.

Sous la couche 2 (**US4106**) se trouve une couche gris-noir compacte dont l'épaisseur atteint 0,12 m; elle repose directement sur le rocher (couche 3, **US4107**). A certains endroits, elle est détruite par des constructions postérieures et coupée par les fosses mentionnées ci-dessus (fig. 25B). Cette couche a été identifiée par E. De Miro, dans son sondage XXIV et lors de ses autres fouilles[36], comme une couche préhistorique présente dans d'autres sondages situés entre le *tempietto* au sud et la *leschè* au nord. Cette couche préhistorique sombre, d'une épaisseur de 0,6-0,8 m, a été datée sur la base de trouvailles de céramique néolithique de type *Stentinello*[37]. En conséquence, il a attribué la couche trouvée dans la *leschè* à la même époque et l'a interprétée comme une couche préhistorique, formée avant l'arrivée des colons grecs.

Nos fouilles ne confirment pas cette interprétation: beaucoup de céramiques grecques ont été trouvées dans cette couche, y compris des céramiques peintes corinthiennes du style récent I (ca. 575-550 av. J.-C.). Des petites fosses creusées dans le

26 Howland 1958, pp. 39-40.
27 Cf. Hadzisteliou-Price 1978, fig. 34-46.
28 Bechtold 2015, p. 11, type Sol/Pan 10.3 = Maña C/T-7.6.1.1/2.
29 Vandermersch 1994, p. 77; Gassner, Sauer 2015, cat. 15.
30 Bechtold 2015, p. 7, type Sol/Pan 3.4 = T-1.4.3.1.
31 Kerschner, Schlotzhauer 2005, p. 47; Marchetti, Parisi 2016, p. 489.
32 Dunbabin1962, pp. 290-291.
33 Dunbabin 1962, p. 296, No. 2954. Les analogues les plus proches sont cependant fournis par Olbia pontiques où elles datent de la seconde moitié du VI^e^ siècle av. J.-C.: Buiskikh 2013, n° 13.218.
34 Payne 1931, p. 332, No. 1504; Risser 2001, p. 36, fig. 1.
35 Beazley 1956, p. 191; Heesen 2011, p. 218; Brijder *et ali* 1996, p. 75, pp. 106-109, pp. 1101-1103.
36 De Miro 2000, p. 41, fig. 9.
37 De Miro 2000, p. 42.

Estratto

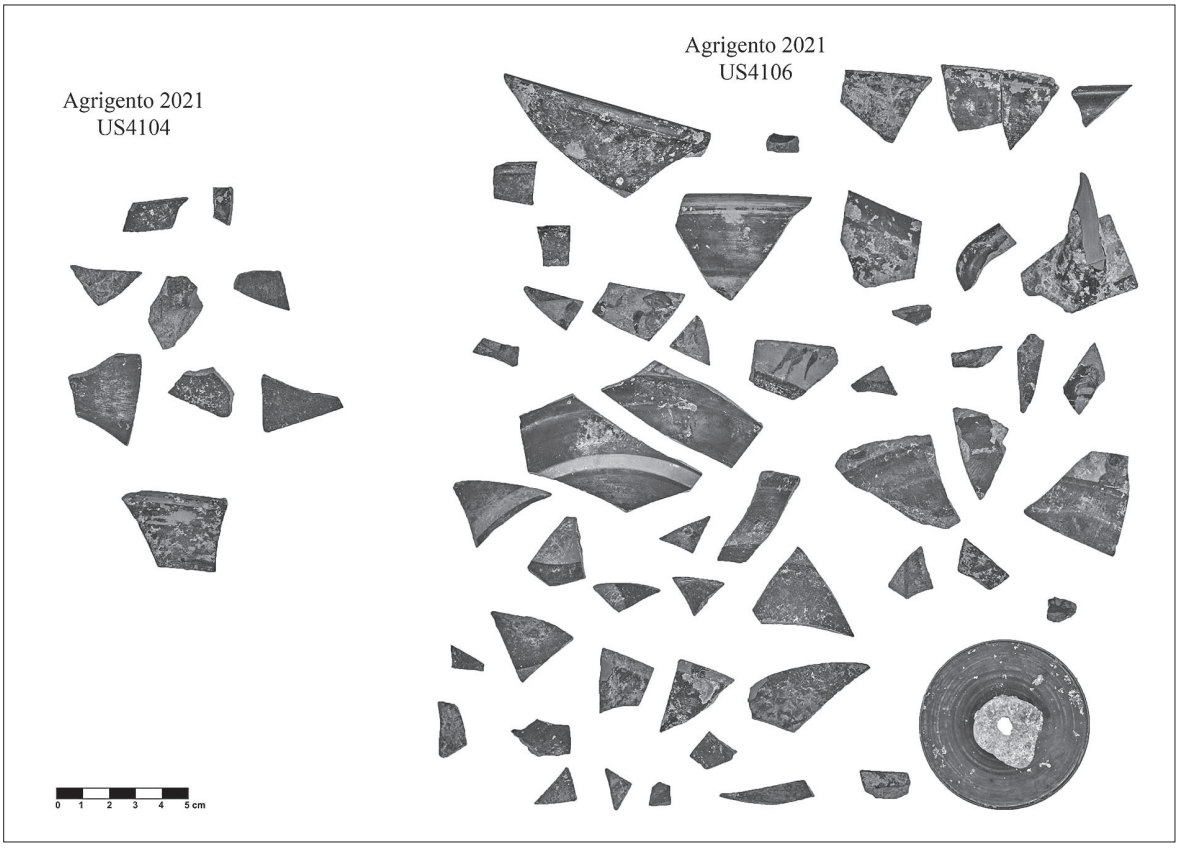


Fig. 32 - S4100 - Fragments d'une coupe attique (*Little* Master group), US4104 et 4106 (photo et traitement d'image Y. Svoysky et A. Ivanova).

rocher sont associées à cette couche; elles ont été découvertes dans le secteur est du bâtiment, près du mur nord (fig. 33). La première d'entre elles (**US4110**), profonde de 0,48 m, est ovale en plan et mesurait 0,40 x 0,30 m à l'embouchure. La seconde (**US4111**), située au sud de la première, est de plan circulaire et profonde de 0,35 m. Ses dimensions à l'embouchure sont 0,40 x 0,45 m. Les deux fosses contiennent un petit nombre de fragments de céramique du style corinthien récent I (ca. 575-500 av. J.-C.)[38], notamment un fragment représentant une aile d'oiseau[39] (fig. 34).

La couche 3 qui repose sur le rocher, peut donc être datée du deuxième quart ou du milieu du VI^e^ siècle av. J.-C. Il s'agit probablement de l'installation grecque la plus ancienne d'Akragas qui suit immédiatement sa fondation. Le premier mur situé sous le mur nord du portique hellénistique était probablement associé à cette couche. Contrairement aux autres murs, il repose sur le rocher taillé à cet effet. Deux blocs de ce mur sont conservés (fig. 27, A-A'; fig. 28B). Ils sont séparés du mur hellénistique qui les recouvre par une couche de terre (continuation de notre **US4102**). Il n'y a pas de traces d'une couche préhistorique, malgré la présence des trouvailles isolée de silex travaillés. La couche 2, qui recouvre la couche 3, date du dernier quart du VI^e^ et début du V^e^ siècle av. J.-C. La construction du mur **MR 15**, qui a partiellement recouvert et partiellement coupé la couche 3, date de cette époque. Les dépôts votifs appartiennent à la couche 2, ils ont dû être déplacés et se trouvent soit dans sa partie supérieure et marquent sa limite avec la couche 1, soit dans les fosses creusées dans la couche 2 et dans le rocher. La couche 2 est associée au fonctionnement d'une structure cultuelle préexistante. Après

38 Cf. Buiskikh 2013, p. 187, pp. 189-194, fig. 184-186.

39 Amyx, Lawrence 1975, 57, No. 210, pl. 39; cf. Dunbabin 1962, p. 196, No. 1962, pl. 82 qui date des images de ce type de la période corinthienne moyenne (ca. 600-575 av. J.-C.).

Estratto



Fig. 33 - S4100 - Fosses dans la partie orientale de la pièce (US4110 и US4111) (photo A. Devaev).



Fig. 34 - S4100 - Fragments de vases corinthiens, fosses US4110 и US4111 (photo A. Devaev).

la destruction de cette structure, un nouveau bâtiment a été construit sur ses vestiges, prolongeant la partie nord du portique vers l'ouest. Le mur nord du portique recouvre le mur ancien du VI^e^ siècle avant J.-C. La couche 1 est liée à la construction de ce portique. Le matériel pousse à le dater à la fin de la période hellénistique: à côté de trouvailles anciennes, la couche 1 contient des fragments du III^e^, aussi bien que de la fin du II^e^ ou du I^er^ siècle av. J.-C.

IV. Le sondage S4200
A. Ivantchik et N. Sudarev

Le sondage a été implanté au nord du portique en L, dans le secteur où se trouvent les «édicules», étudiés par E. de Miro en 1995-1996[40] (fig. 35). Il s'agit de structures similaires, en forme de Π, présentant une niche rectangulaire profonde, au centre, flanquée d'ailes en saillie; la largeur de chaque aile est la même que celle de la niche ou la dépasse légèrement. Les murs de chaque structure sont constitués d'une rangée de dalles posées de chant. Au centre de chaque niche se trouve un bloc, bien travaillé, en forme de cube. E. de Miro a dénombré six édicules de ce type – les trois occidentaux sont mal conservés et les trois orientaux le sont beaucoup mieux. Selon la reconstruction de E. De Miro, il existait un passage assez étroit entre ces deux groupes. Ce passage comprend un escalier, par lequel on pouvait accéder de la *plateia* à la place. Les six édicules étaient adossés au mur nord du portique et donnaient sur la *plateia*, qui menait sur la terrasse des temples I et L, ainsi qu'à la porte V.

Nous avons utilisé la numérotation des murs mise en place par E. de Miro et essayé de mettre en relation, dans la mesure du possible, les couches et ensembles que nous avons identifiés avec ceux qu'il avait décrits. E. De Miro n'a fouillé les édicules que partiellement: il n'a pas étudié leur structure interne et s'est contenté de ne dégager les constructions que jusqu'au niveau du remplissage et du niveau supérieur des dalles formant leurs murs. Seules les niches centrales ont été fouillées, mais pas l'ensemble de leur surface et jamais jusqu'au niveau du rocher. Dans l'édicule 1, E. De Miro a implanté un sondage (D/96) situé dans la niche et l'a amené jusqu'à la base du bloc central.

La fouille s'est concentrée sur l'édicule 1 (carrés V-W/21 de la grille de 1995-1996, figg. 35; 36)[41], le plus occidental du groupe de trois édicules orientaux bien conservés. Au sud, le sondage est délimité par le mur nord du portique (**USM 50**). A l'est, la limite du sondage est le mur **USM 55** qui sépare l'édicule 1 de l'édicule 2. Ce mur s'aligne sur le mur occidental (interne) de la partie méridionale du portique en L (**USM 1**). La limite occidentale du sondage est le mur **USM 68**, que E. De Miro considérait comme le mur occidental d'un escalier entre l'édicule 1 et le groupe d'édicules occidentaux 4-6. Au nord, la fouille était délimitée par une ligne conventionnelle située entre la *plateia* et le

40 De Miro 2000, pp. 58-61.

41 De Miro 2000, fig. 32.

Estratto

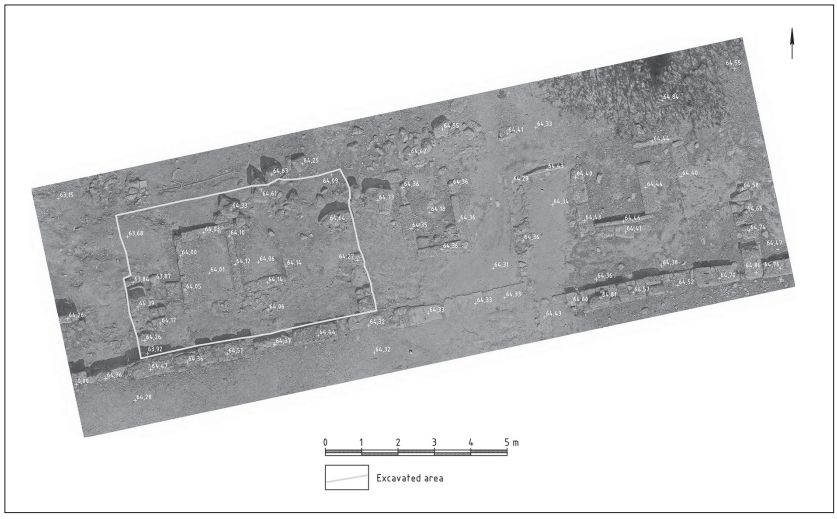


Fig. 35 - S4200 - Zone des édicules et limites du sondage 4200 (photogrammétrie Y. Svoysky et E. Romanenko).



Fig. 36 - S4200 - Plan au niveau de l'US4202 (niveau de décapage) (Y. Svoysky, E. Romanenko, E. Nikitina).

mur **USM 50**, à une distance de 4 m de ce dernier. Cette limite a été définie par la présence d'un câble longeant une piste moderne qui suit la *plateia*. Les dimensions totales du sondage étaient donc de 6,30 x 4 m et comprenaient la totalité de l'édicule 1 et l'espace adjacent (figg. 36; 37).

La couche supérieure (**US4201**), d'une épaisseur de 0,05-0,1 m, était composée de limon mélangé avec des inclusions de la céramique aussi bien ancienne que moderne, de bouchons, de verre, etc. Elle a apparemment été formée après 1996, au-dessus des nettoyages et fouilles de De Miro. Après avoir enlevé cette couche et décapé la surface du sondage, celui-ci a été divisé en trois secteurs.

Le secteur 1 comprend la structure de l'édicule en Π, à l'exclusion de la niche, et la partie du sondage qui lui est adjacente, au nord; il est délimité à l'ouest par le mur **USM 67**, à l'est par le mur **USM 55**, au sud

Estratto



Fig. 37 - S4200. Niveau de l'US4202 (niveau de décapage). Vue du nord (modèle 3-D - Y. Svoysky, E. Romanenko).

par le mur **USM 50** et au nord par la limite du sondage. La longueur de ce secteur de l'ouest à l'est le long du mur **USM 50** est de 4,70 m, le long du bord nord elle est de 4 m. Au sud de la niche, une section de contrôle non fouillée pour une coupe stratigraphique a été laissée.

Le secteur 2 comprend la niche avec le piédestal et la partie du sondage qui la jouxte au nord. Il est délimité à l'ouest et à l'est par les murs **USM 64** et **66**, et au sud par **USM 65**.

Le secteur 3 comprend la partie occidentale du sondage en dehors de la structure en Π de l'édicule, entre la paroi **USM 67** et les vestiges du mur plus monumental de l'**USM 68**. De Miro y a reconstitué un passage avec un escalier entre l'édicule 1 et le groupe d'édicules 4-6.

L'intérieur de l'édicule dans le secteur 1 est remblayé avec des pierres amorphes de différentes tailles et des fragments des blocs taillés, mélangés à de la céramique, de gros fragments de tuiles et de la terre (limon sableux gris-jaune) (fig. 37). La couche de décapage au niveau du remblai (**US4202**) correspond à l'US 66 de De Miro, qui a décapé la surface supérieure du remblai, mais ne l'a pas retiré. Cette couche a révélé de nombreux fragments de céramique dont des fragments de pots en argile claire, des amphores d'époque romaine, ainsi que des fragments des vases corinthiens et attiques à figures noires du VI^e^ et de la première moitié du V^e^ siècle av. J.-C. Le décapage de la partie nord-est de l'édicule a permis de découvrir un mur délimitant sa partie orientale qui n'avait pas été mis au jour lors des travaux précédents. Au nord de ce mur, les pierres d'un autre mur ont été identifiées. Il s'agit de dalles de grès travaillées et posées à plat les unes sur les autres (fig. 39, H-H'). La couche de décapage a révélé les objets suivants: un crochet en bronze appartenant à une balance, la partie inférieure d'une cruche en argile rouge, trouvée près du mur oriental de la niche, dans une petite dépression (fig. 36, *1,8*). Après le décapage, le remblai à l'intérieur des parois de l'édicule a été retiré (**US4204**) (figg. 38; 40). L'épaisseur de cette US est 0,5 m. Le remblai comprenait des fragments de tuiles, de vases en verre et de céramique de différentes époques, notamment des pots de cuisine, de céramique sigillée, des amphores aussi bien de l'époque romaine que du second quart du V^e^ siècle av. J.-C. On mentionnera une pièce de monnaie en bronze malheureusement illisible, un fragment de bracelet en verre, un fragment de métope montrant une partie de la croupe d'un animal et une *sima* en forme de tête de lion (figg. 36, *11,26,25,10*; 41). P. Marconi a publié une *sima* identique provenant de la fouille du temple I («temple des Dioscures»)[42].

Dans le secteur 2, les limites du sondage de E. de Miro à l'intérieur de la niche (D/96) ont été facilement identifiées parce qu'elles avaient été marquées par un textile. Le sable qui remplissait le sondage a été vidé (**US4205**). Dans la partie intacte de la niche, l'épaisseur du remplissage était de 0,50 m (**US4207**). Cette US correspond à l'US56 du sondage de 1996. E. de Miro l'a décrite comme une couche de gravats, avec de fragments d'enduit et de

42 Marconi 1933, p. 84, fig. 55.

Estratto

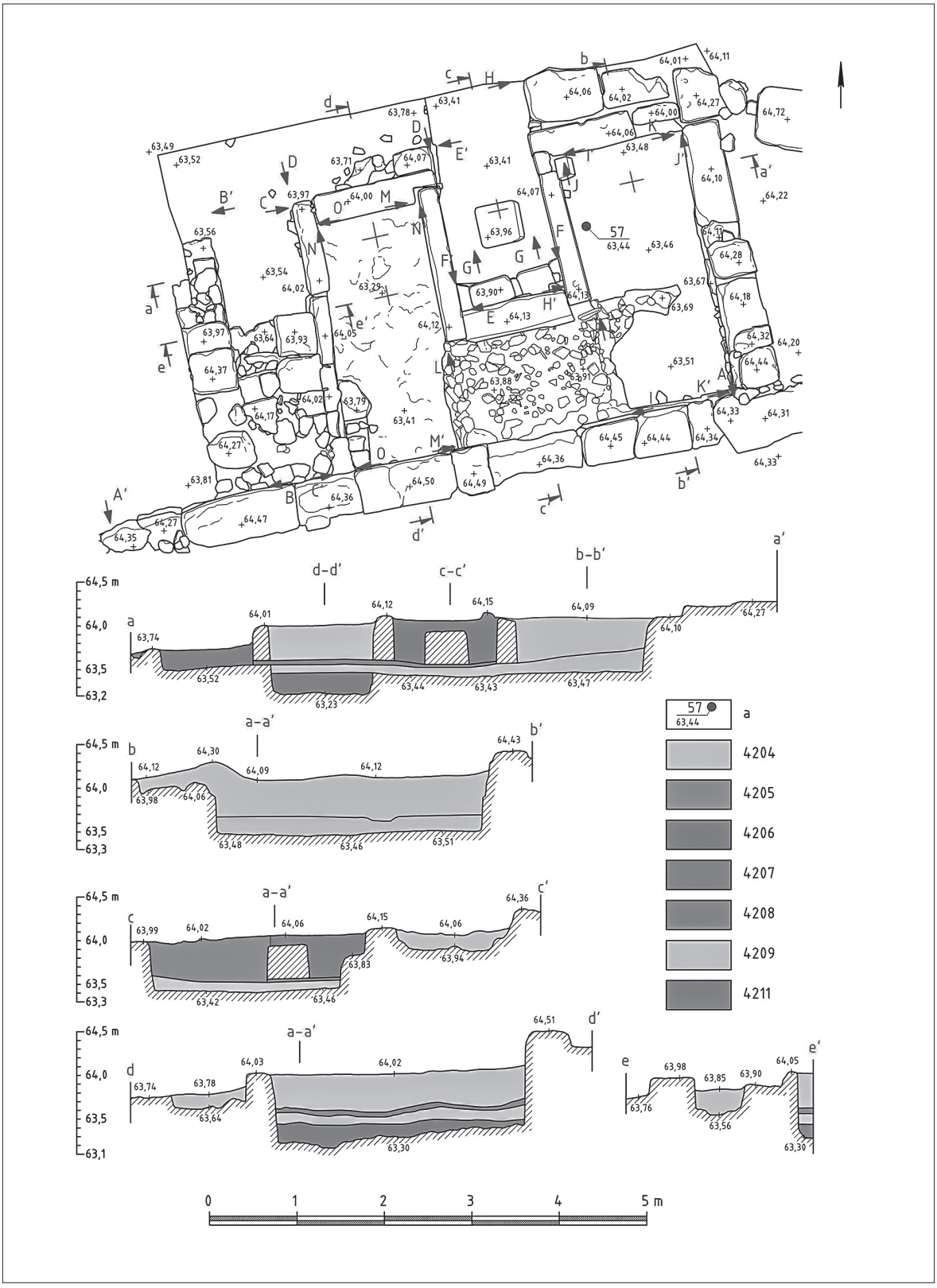


Fig. 38 - S4200 - État final et coupes stratigraphiques (Y. Svoysky, E. Romanenko, E. Nikitina).

Estratto

la céramique. La même composition a été révélée lors de nos fouilles. Cette US contient nettement moins de pierres et de matériel archéologique mais plus de terre que le remblai à l'intérieur de l'édicule (**US4204**). L'US contient des fragments de statuettes en terre cuite de déesses assises, des lampes attiques de type Agora 19 (525-480 av. J.-C.)[43], des pyxides corinthiennes et d'autres objets de la seconde moitié du VI^e^ siècle - première moitié du V^e^ siècle av. J.-C. Dans l'ensemble, le matériel de cette US est très similaire à celui de la couche d'offrandes votives de la *leschè* (**US4106**). Mais des fragments de vases en verre dont deux vases brisés sur place (fig. 36, *9*), ainsi que la céramique sigillée d'époque impériale ont été également mis au jour ce qui détermine la date du remplissage. La trouvaille la plus intéressante est sans doute une tablette enroulée de plomb, qui porte probablement un *defixio* (fig. 36, *36*). Elle a été découverte entre les pierres adjacentes à la paroi sud de la niche qui forment un «banc» derrière le bloc cubique (voir ci-dessous), au niveau du sol de la niche.

Dans le secteur 3, la couche supérieure (**US4203**) est composée d'argile sableuse avec des inclusions de céramique antique et d'objets modernes; cette couche mixte est similaire à l'US 4201. Une couche cendreuse (**US4206**) se trouve dessous. La fouille dans ce secteur a été menée uniquement dans sa partie nord. La structure composée d'une rangée de pierres qui est située dans sa partie sud et qui a été définie par E. De Miro comme les restes d'un escalier, n'a été que nettoyée. La couche de cendres dans la partie nord (**US4206**) comprend un grand nombre de céramique, d'os d'animaux brûlés et de charbon de bois, ainsi que des fragments d'une coupe votive ionienne, d'un lécythe attique du V^e^ siècle av. J.-C., des clous de bronze, d'un couteau, une cloche (ou pendentif) en argent et une lampe du type Agora 19B (fin du VI^e^ siècle - 480 av. J.-C.)[44]. L'US4206 a été fouillé dans la partie nord du secteur jusqu'au niveau de la partie inférieure des dalles de la paroi USM 67.

Une couche de limon sableux dense de couleur jaune (**US4208**) a été découverte dans les secteurs 1 et 2 sous les US 4204 et 4207. Cette couche était bien visible dans la partie occidentale du sondage (épaisseur maximale: 0,1 m) et à peine détectable dans sa partie orientale; elle disparaissait au niveau de la paroi orientale de la niche. L'US4208 correspond à la couche d'«abandon» identifiée par E. De Miro dans les parties de l'édicule qu'il a fouillées (US 58/1996). L'US contient de la céramique mixte datant des VI^e^ et V^e^ siècles av. J.-C., ainsi que du III^e^ siècle av. J.-C. (amphores gréco-italiotes[45] et puniques[46]). Un second *defixio* de plomb a été trouvé dans la partie ouest du secteur 1; cette couche contenait également deux monnaies de bronze (fig. 36, *28,55*). L'une a été trouvée sous la paroi ouest (USM 67) et l'autre au niveau du sol de la niche. Les deux monnaies datent de l'époque d'Auguste[47]. La première porte la tête d'Auguste à droite sur l'avers et une contremarque avec représentation d'une charrue sur le revers. Elle a été frappée à Akragas entre 2 av. et 14 ap. J.-C. (proconsul L. Clodius Rufus)[48]. La seconde a été frappée à Tyndaris en Sicile et porte une tête d'Auguste à droite sur l'avers et une couronne sur le revers. Elle a été frappée sous le proconsul L. Mussidius et date de l'époque d'Auguste[49]. Ces pièces donnent un *terminus post quem* pour la construction de l'édicule.

Sous l'US4208, une couche d'un fort incendie a été identifiée dans les secteurs 1 et 2 (**US4209**). Elle est probablement synchrone avec l'US4206. L'US4209 est moins saturée de cendres, de charbon et d'os d'animaux que l'US4206, mais elle en contient cependant un assez grand nombre. L'épaisseur de cette couche variait de 0,10 m dans la partie occidentale à 0,25 m dans la partie orientale. À l'intérieur de la partie orientale de l'édicule, une couche de cendres mélangées à du charbon et à du limon sableux jaune, partiellement brûlé jusqu'à une teinte rougeâtre, a été mise au jour immédiatement sous l'US4204. Elle contenait une grande quantité de pierres et des morceaux de briques crues brûlées. Tous les murs du périmètre de cette couche, à l'exception des dalles formant l'édicule,

43 Howland 1958, pp. 39-40.
44 Howland 1958, pp. 40-41, No. 140.
45 Vandermersch 1994, pp. 82-83; Bechtold 2013, n. 60: type MSG VI.
46 Ramón 1995, p. 201, fig. 196; Beichtold 2013, n. 61; Beichtold 2015, p. 36, fig. 12,5: type T-6.1.1.3/Sol/Pan 7.5.
47 Nous remercions K. Konuk et L. Brousseau (Bordeaux) qui ont identifiées ces monnaies.
48 *RPC* I, 660.
49 *RPC* I, 627.

Estratto

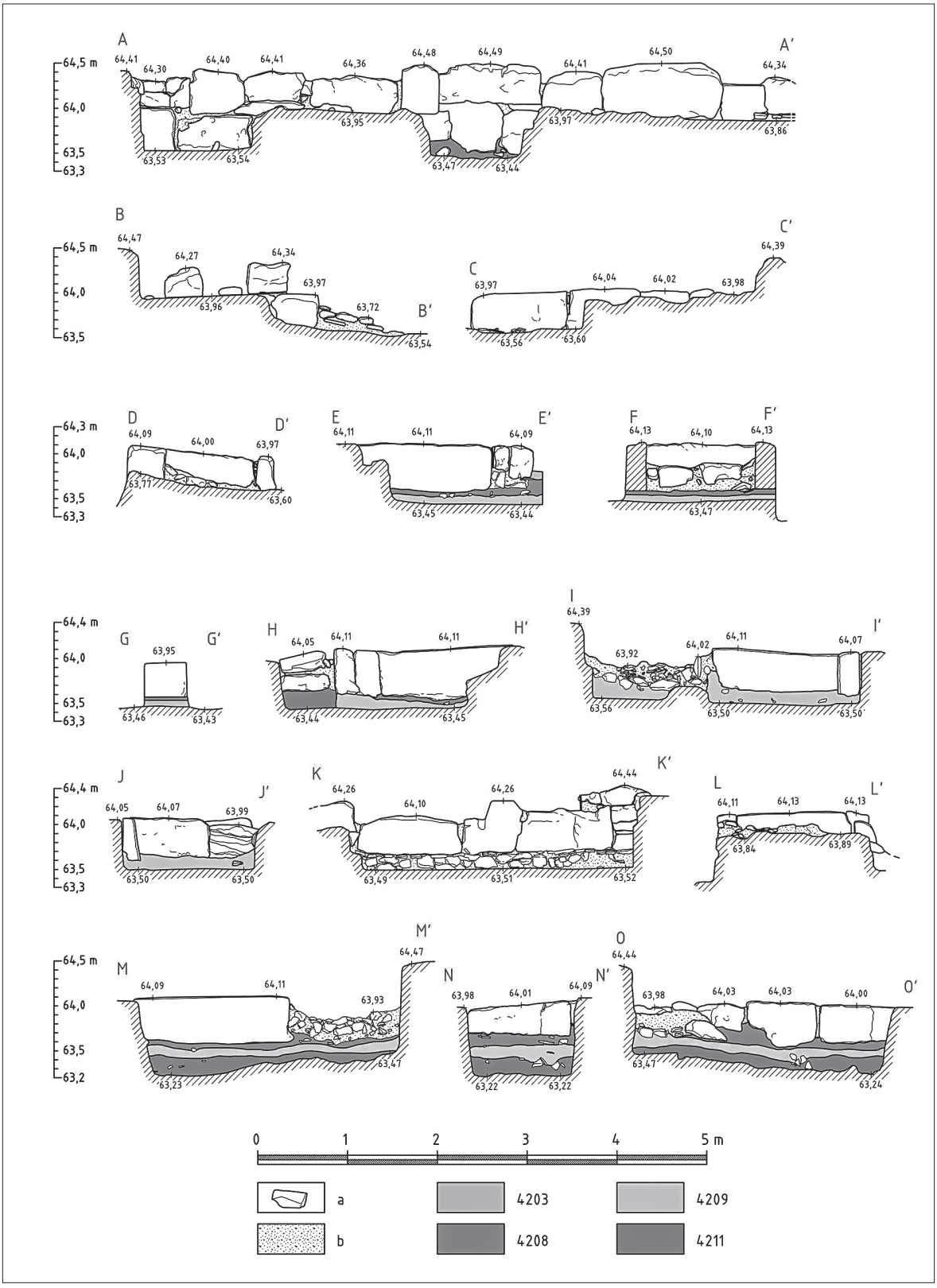


Fig. 39 - S4200 - Elévations des murs (Y. Svoysky, E. Romanenko, E. Nikitina).

Estratto

portent des traces de feu. On les voit également sur les pierres du mur nord du temenos, qui se trouvent sous le mur USM 50 du portique en L. La majorité des trouvailles dans cette couche sont des nombreuses petites lampes, entières et fragmentées, du type Agora 19B[50]. Un fragment de l'amphore corinthienne du type A de la fin du VIe siècle - 480 av. J.-C.[51] a été également trouvée, ainsi que des fragments des vases miniatures, d'une cruche à l'argile claire et d'autres.

La fouille a été arrêtée à ce niveau sur l'ensemble du sondage, à l'exception de la partie ouest du secteur 1 (entre les parois USM 66 et 67), où elle a été poursuivie jusqu'au rocher (figg. 38-40). Une couche homogène de limon sableux jaune (**US 4211**) a été révélée sous la couche de l'incendie; par endroits, elle a été brûlée par l'incendie qui a formé l'US4209 et a pris une teinte rougeâtre-orange. Son épaisseur est de 0,15-0,25 m, le rocher sur lequel elle repose est en pente douce vers le nord. La couche contient des fragments d'une cruche d'argile claire, des bols miniatures imitant la céramique ionienne rayée, des vases attiques à vernis noir ainsi que des lampes du même type que dans la couche d'incendie.

On peut donc conclure qu'un bâtiment adossé au mur nord de *temenos* (USM 50) existait à cet endroit à l'époque archaïque; l'US4211 est liée à sa construction. Le mur USM 55, son mur oriental, est aligné avec le mur intérieur (occidental) de la partie méridionale du portique en L (USM 1). Le plan de E. De Miro montre que le mur USM 55 se terminait par un grand bloc, auquel un autre bloc similaire était accolé à angle droit[52]; ces deux blocs n'existent plus. La section conservée du mur mesure 3,75 m de long. Ce mur est constitué de quatre blocs, dont deux sont disposés horizontalement et deux verticalement (fig. 39, coupe K-K'). Les blocs couchés horizontalement mesurent 1,20 x 0,5 x 0,5 m. Le bloc nord, fortement brûlé, est moins bien conservé, sa partie supérieure est détruite, ce qui peut être lié à l'exposition au feu et à l'émiettement qui en résulte. Le bloc situé entre les deux avait des dimensions de 0,5 x 0,5 x 0,6 m, il est également très endommagé par le feu. Les blocs du mur reposent sur le rocher dans la partie sud, mais ailleurs ils s'appuient sur une substructure faite de petites pierres soigneusement ajustées destinées à rattraper les différences de niveau.

Dans la partie nord de l'USM 55, il y deux blocs perpendiculaires à ce mur qui marquent probablement le départ du mur nord du bâtiment. Au-dessus d'eux, il y avait un bloc aujourd'hui disparu, signalé sur le plan de E. De Miro. La longueur totale des deux blocs préservés est 1,5 m. Le bloc oriental mesure 0,85 m x 0,5 m x 0,2 m et surmonte un bloc de dimensions similaires.

Le mur USM 68 était probablement le mur ouest de l'édifice archaïque ; sa longueur conservée est 2,87 m (fig. 39, B-B'). Le mur a été construit de blocs de grès d'environ 0,45-0,5 m de large ; il est conservé sur deux assises. La partie nord de ce mur (0,76 m de longueur) montre un appareil assez soigné fait de petites pierres mal taillées ou amorphes. Il s'agit probablement d'un niveau de rattrapage similaire à celle du mur USM 55. La partie intérieure (est) du mur présente des traces claires d'exposition au feu.

L'édifice archaïque (une pièce d'un grand bâtiment ?) avait donc des dimensions de 6,7 x 4,55 m. Il avait très probablement une ouverture au nord, vers la voie menant aux temples I et L. Il est probable qu'une construction similaire, délimitée à l'est par le mur USM 54, se trouvait à l'est, à l'emplacement de l'édicule 2.

Le bâtiment archaïque a été détruit par l'incendie repéré dans les US4209 et 4206 qui a laissé des traces de feu sur les murs USM 68, 55 et 50. Les matériaux trouvés dans ces couches laissent dater l'incendie des deux premières décennies du V^e^ siècle av. J.-C. au plus tard. Il n'y aucun objet incontestablement postérieur à 480 av. J.-C.

L'édicule 1 est placé directement sur la couche de l'incendie et sur l'US4208 qui la recouvre partiellement. E. De Miro considérait son US 58/1996 (= notre US4208) comme une couche d'abandon formée pendant la période où ce secteur n'a pas été utilisé; elle peut plutôt, à notre avis, être liée à la construction de l'édicule. La longueur totale de l'édicule d'ouest en est, le long du mur USM 50, est 4,70 m, le long du bord nord - 4,5 m. La largeur de la partie occidentale est 3,40 m, celle de la partie orientale est 3,80 m. La niche se trouve à peu près au centre du mur nord, ses dimensions sont 1,20 x 1,80 m. Sa partie centrale comporte un

50 Howland 1958, pp. 40-41, No. 140.
51 Sourisseau 2006, p. 143 (type 6); Sacchetti 2012, pp. 20-21.
52 De Miro 2000, fig. 32.

Estratto

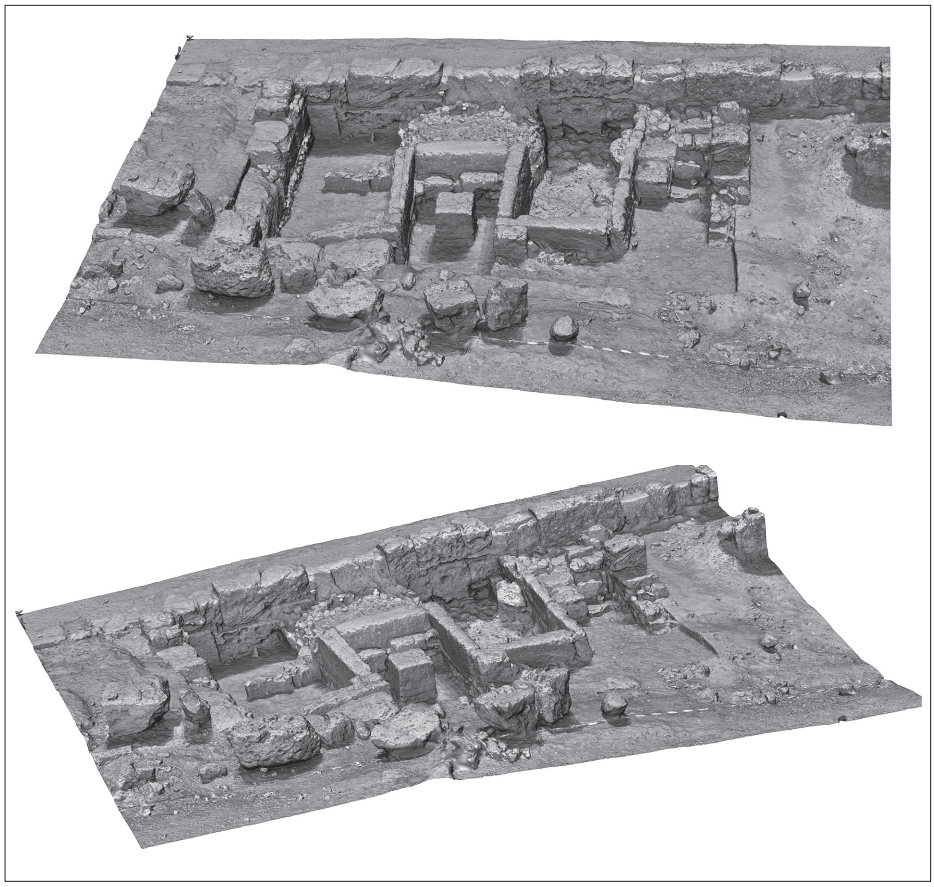


Fig. 40 - S4200 - État final. A - vue du nord ; B - vue du nord-est (modèle 3-D Y. Svoysky, E. Romanenko).

bloc cubique de calcaire de 0,40 x 0,40 x 0,37 m. Les murs de la niche et ce bloc ont reçu un enduit blanc, conservé à certains endroits dans sa partie inférieure. La partie sud de la niche est occupée par une sorte de petit banc d'une profondeur de 0,20 m et d'une hauteur de 0,25 m (figg. 38; 39, F-F'). Sa longueur correspond à la largeur de la niche (1,20 m). Le banc est constitué de deux grandes dalles de calcaire à surface lissée. Les joints entre les dalles et les murs de la niche sont remplis avec des petites pierres.

Les parois de l'édicule sont constituées de dalles étroites posées de chant. L'espace à l'intérieur des parois est rempli du remblai dense fait de pierres, de tuiles et d'argile. Il est improbable qu'une telle structure ait pu supporter un poids important et nous pouvons donc conclure que la hauteur de l'édicule ne dépassait pas la hauteur conservée. Le remblai était sans doute recouvert de dalles de pierre. La recherche doit être poursuivie afin de préciser la fonction de l'ensemble.

La paroi occidentale de l'édicule (USM 67) se compose de trois dalles de grès (figg. 38; 39, C-C', O-O'). Elles ont une largeur d'environ 0,16 m, la dalle nord mesure 1,22 m de long, celle du centre 0,74 m et celle du sud 0,49 m. La partie sud de la paroi (0,79 m) est constituée de morceaux de pierres amorphes. La hauteur de la paroi est d'environ 0,45 m. La paroi nord de la partie ouest de l'édicule (figg. 38; 39, D-D') mesure 1,59 m de long et est formé d'une seule dalle de grès, fissurée. Elle est trapézoïdale et mesure 0,24 x 1,38 x 0,27-0,41 m. Dans la partie orientale, la dalle a un rebord pour une meilleure liaison avec la dalle de la paroi USM 64. A l'extérieur, l'angle du mur nord et du mur USM 64 est soutenu par un grand bloc rectangulaire. Ses dimensions sont 0,30 x 0,40 x 0,40 m.

La paroi occidentale de la niche USM 64 (figg. 38; 39, E-E', M-M') est formé d'une seule dalle de grès de 1,73 x 0,20 x 0,50 m. Sa longueur totale est de 1,96 m. Elle touche la paroi sud de la niche USM 65 formée d'une seule dalle de 1,24 x 0,30 m; elle n'a

Estratto

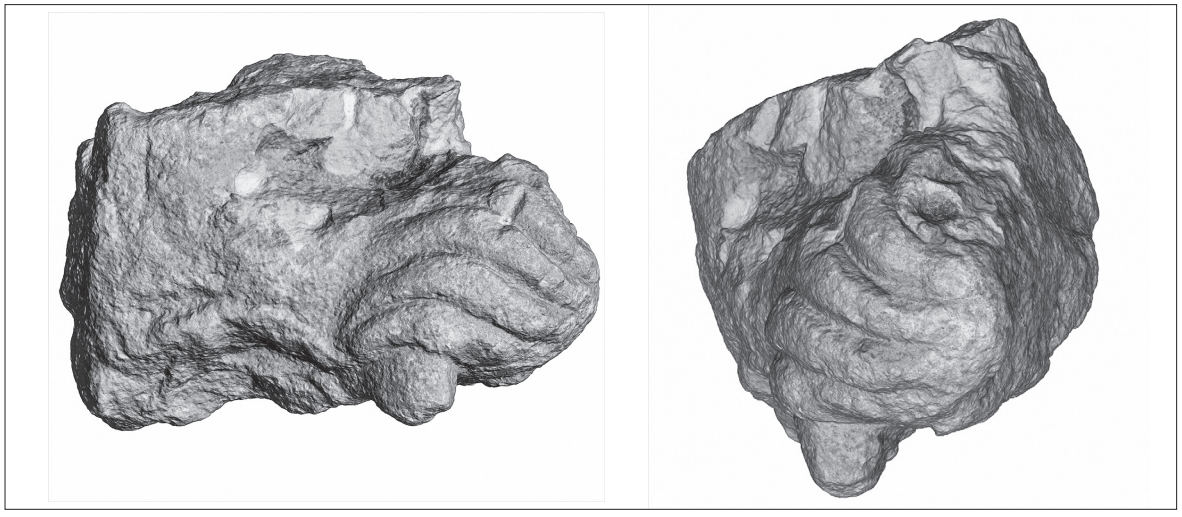


Fig. 41 - S4200 - Sima en forme de tête de lion (42010, US4204). A - vue latérale ; B - vue frontale (Y. Svoysky, E. Romanenko).

pas été dégagée sur sa hauteur complète. La paroi orientale de la niche USM 66 (figg. 38; 39, H-H', I-I') est également formée d'une seule dalle de grès de 1,51 x 0,20 x 0,50 m. Le bord nord de paroi est renforcé par deux étroites dalles de grès, placées verticalement. Les deux dalles mesurent 0,50 x 0,23 x 0,15 m. La longueur totale de la paroi est 2,11 m. La paroi nord de la partie orientale de l'édicule (figg. 38; 39, J-J') est formée de deux dalles. La dalle orientale mesure 1,34 x 0,34 x 0,40 m. La seconde dalle est une gouttière réutilisée posée sur le côté. Il mesure 0,51 x 0,20 x 0,33 m. La longueur totale de cette paroi est 2,19 m. Deux blocs, appartenant peut-être au mur du bâtiment archaïque (voir ci-dessus) se trouvent au nord de la paroi.

A l'ouest de l'édicule, une construction occupe la partie sud de l'espace entre sa paroi ouest USM 67 et le mur USM 68. Elle est constituée de blocs travaillés semblables aux blocs de l'USM 68; sa longueur est 1,98 m. La partie septentrionale est faite avec plus de soin, la partie intérieure est remblayée de pierres plus petites. E. De Miro a interprété cette construction comme un escalier menant du mur nord du portique à la *plateia* ce qui semble très probable. L'escalier a été sans doute construit en même moment que les édicules. Les blocs pour sa construction provenaient des murs du bâtiment archaïque brûlé, ce qui explique la présence des traces de feu sur ces blocs. Par contre, les dalles utilisées dans les parois de l'édicule ont dû être fabriquées spécialement pour cette construction: elles ne montrent aucune trace de feu.

La date de construction de l'édicule est déterminée par les objets les plus récents trouvées dans son remblai (**US4204**) et dans la couche **US4208** qu'il recouvre. Le *terminus post quem* est fourni par deux monnaies de la seconde moitié du règne d'Auguste (2-14 AD). Cela n'est pas contredit par les trouvailles des fragments de vases de verre et de céramique sigillée. On peut donc dater la construction de l'édicule du I^er^ siècle ap. J.-C., probablement de l'époque d'Auguste ou d'une époque proche. On observe qu'aucun vestige de construction ou couche datable de la période comprise entre 480 av. J.-C. et le I^er^ siècle ap. J.-C. n'a été découvert ici, bien que des artefacts d'époque hellénistique soient présents dans les US du I^er^ siècle.

B. TRAITEMENT DU MOBILIER ARCHÉOLOGIQUE SUR LE TERRAIN

M. Bernier

La campagne de fouilles 2021 a livré une quantité importante de mobilier d'un point de vue quantitatif et qualitatif (dix grandes catégories) dans un bon état de conservation. Il provient de huit sondages réalisés sur quatre zones épargnées par les opérations archéologiques antérieures; la Tholos (zone 1) le *Tempietto* (zone 2), le Portique nord

Estratto

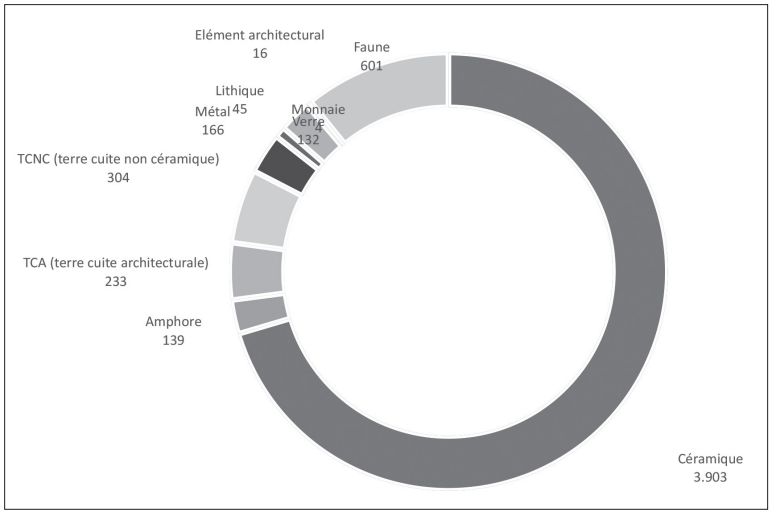


Fig. 42 - Répartition du mobilier par catégorie dans l'état actuel des données quantitatives.

(zone 4) et la Porte V (zone 5). Le protocole de gestion et de conservation du mobilier appliqué durant cette campagne n'a permis de réaliser que le conditionnement et l'inventaire général de la collection[53]. Tous les tessons de céramique ont été lavés lors de la fouille. Pour le reste du mobilier, un traitement adapté a été réalisé par type de matière, en respectant les méthodes de conservation préventive des objets archéologiques[54]. Si les différents matériaux ont pu être triés, tous n'ont pu être comptabilisés. Ainsi, les données numériques proposées ne représentent qu'un échantillonnage de la collection (fig. 42). Ce travail sera réalisé lors d'une prochaine mission et permettra l'inventaire complet des découvertes de 2021.

I. Aperçu du mobilier non-céramique

I.1. Le mobilier métallique

La campagne 2021 est marquée par de nouvelles découvertes de fragments de phiales en bronze (fig. 43, n°1 et 2) qui complètent le lot exceptionnel de 440 fragments, dont 19 complètes, découvert en 2019[55]. Les objets ont été traités en respectant les normes de conservation préventive pour les objets en alliage cuivreux puis les phiales ont été remises au service de restauration[56] du parc archéologique d'Agrigente.

Un lot de quatre monnaies a été inventorié et nous pouvons noter la présence hors contexte, d'une monnaie en or (fig. 43, n°3) publiée par V. Comannecci. D'autres objets en métal complètent l'assemblage métallique (cent soixante-six individus) dont un élément de balance (fig. 43, n°4) et une tablette de *defixio* percée d'un clou (en restauration au Musée de Palerme).

I.2. Le mobilier en terre cuite

Des découvertes exceptionnelles ont été faites sur les secteurs fouillés. Nous retrouvons notamment deux fragments de grandes figurines terre cuite (fig. 44, n°1 et 2) dont l'un a conservé sa polychromie.

Parmi les autres découvertes en terre cuite non céramique, nous retrouvons deux fragments de *louterion*, neuf fragments de figurines dont une petite tête féminine (fig. 44, n°3) et un élément anatomique animalier (fig. 44, n°4).

Enfin, nous retrouvons en contexte, plusieurs éléments de lampe locale/régionale (dont deux complètes). Elles sont toutes en pâte claire (rouge/orange). Parmi elles, certaines reçoivent un engobe

53 La gestionnaire du mobilier archéologique et de la pré-étude des céramiques (M. Bernier) n'a été présente que durant sept jours sur le terrain. La suite du conditionnement et de l'inventaire (sans donnée quantitative) a été réalisée par Luna Lowitz-Pollina, étudiante de Master 1.

54 Païn 2015.

55 Bernier 2021a, pp. 336-337.

56 La restauration des objets archéologiques découverts depuis 2018 est réalisée par M.me Marilanda Rizzo Pinna.

Estratto

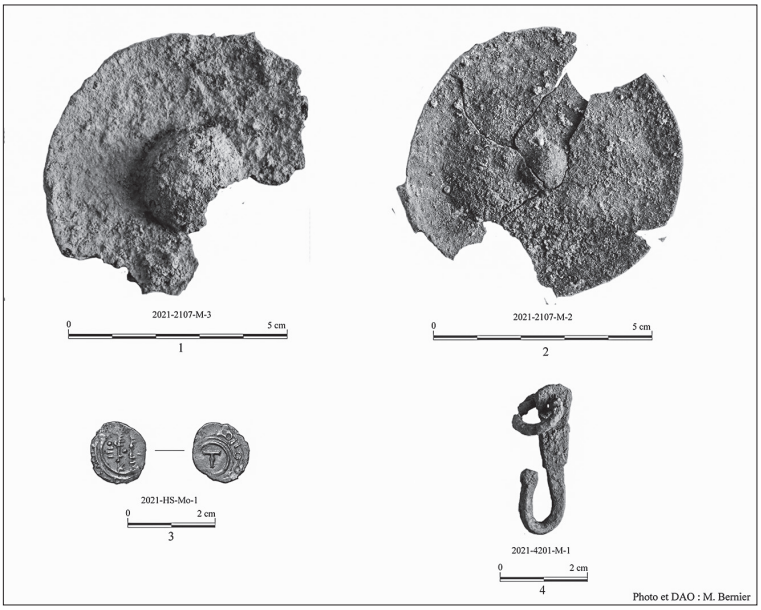


Fig. 43 - Exemple de mobilier métallique mis au jour en 2021.

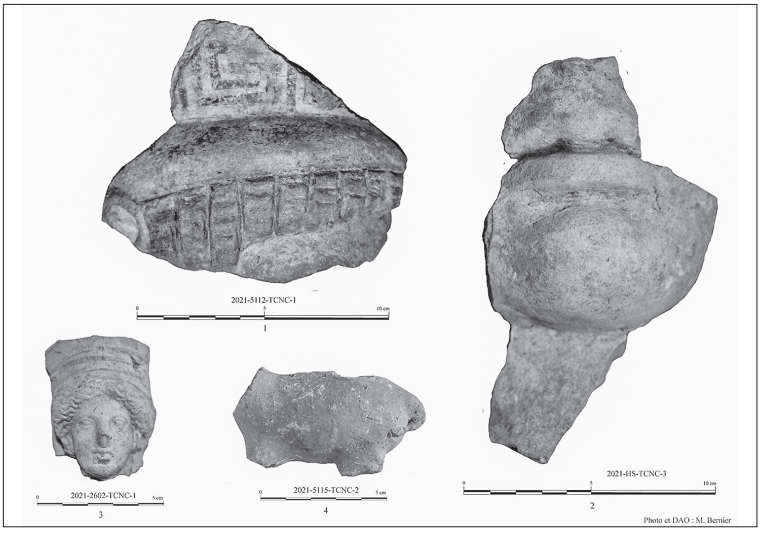


Fig. 44 - Exemple d'objets en terre cuite mis au jour en 2021.

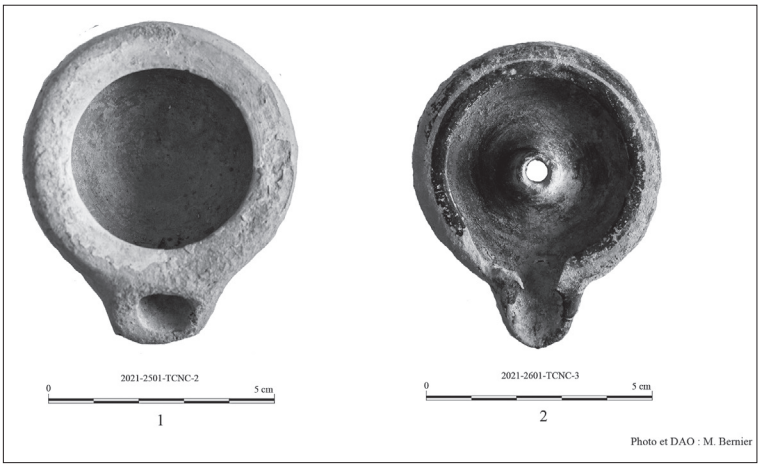


Fig. 45 - Exemple de lampes mises au jour en 2021.

Estratto

(vernis) noir à l'intérieur, sur les bords et sur le bec. Ce sont des lampes à fond plat, à bord rentrant et présentant une cheminée en leur centre (fig. 45, n°2). Les exemplaires découverts (type 27-A-B de l'Agora IV)[57] sont bien connus en Sicile entre la fin du V^e^ et le IV^e^ s. a.C.

I.3. Le mobilier céramique - Présentation du travail réalisé sur le terrain

Lors de la campagne 2021, seule une partie des céramiques communes, fines et amphores de chaque US a été traitée (mille et neuf fragments – cent trente et un individus)[58]. En effet, la mission prioritaire était le traitement des céramiques issues des fouilles de 2019 qui n'avaient pu être étudiées sur place et dont la crise sanitaire mondiale n'avait permis la programmation d'une mission sur le terrain durant l'année 2020. Ainsi, deux cents quatre-vingt-trois tessons (pour quarante individus) ont été ajoutés à l'inventaire 2019 et ce nouvel assemblage est en cours d'étude.

Dans l'état actuel des données disponibles, les céramiques ont été classées par catégorie, quantifiées et triées par forme. L'identification technique en cours reprend les onze catégories de pâtes définies en 2018[59] en fonction de leur couleur, de la composition minéralogique et de la technique de façonnage. Par exemple, deux catégories de pâtes claires ont été identifiées[60]. Hormis la même technique de cuisson (mode A) la composition minéralogique (calcaire, non calcaire) et la composition du dégraissant divergent en fonction de la vocation des récipients (céramiques de service pour le groupe COM-CL1 ou céramiques de cuisson pour le groupe COM-CL2).

Ainsi, les premières observations montrent que le vaisselier est dominé par des vases à pâte claire. Cette répartition des groupes techniques montre la prédominance des productions locales à cuisson oxydante, déjà observée lors des précédentes compagnes de fouilles (fig. 46) et confirme les observations faites sur la spécificité du vaisselier de cette aire chronologique et du secteur géographique[61].

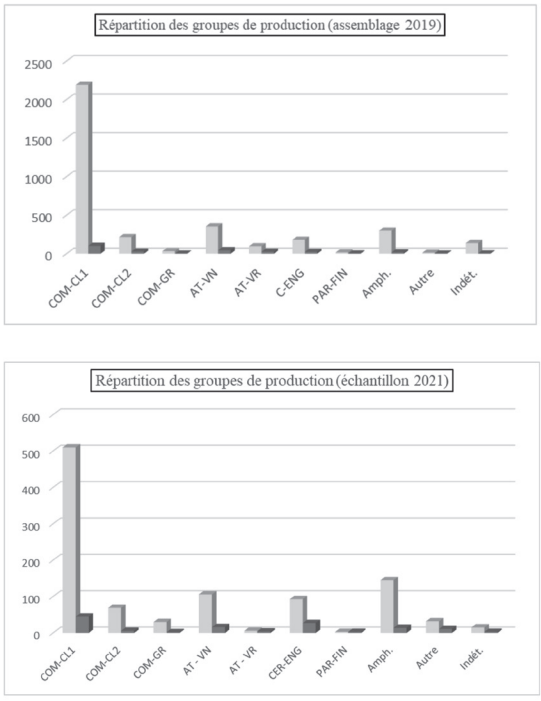


Fig. 46 - Répartition des groupes de production entre l'assemblage de 2019 et l'échantillon de 2021.

Les futurs travaux auront pour objectif l'inventaire complet et l'étude de la totalité des formes qui seront assortis de planches de dessins à l'échelle 1/3, illustrant les récipients représentatifs des différentes catégories de pâte. Durant la campagne 2021, les formes observées (cent trente et un NMI) ont quasiment toutes été dessinées (soit cent vengt-trois NMI) afin de proposer un catalogue le plus exhaustif possible une fois toutes les céramiques traitées.

Après le traitement des données brutes, nous pourrons déterminer les différentes productions de l'ensemble des céramiques par secteurs et structures. Puis, nous réaliserons l'étude comparative des formes avec les récipients mis au jour lors des fouilles anciennes ainsi que les céramiques récemment étudiées dans d'autres sites siciliens. La finalité sera de proposer une identification typo-chronologique des céramiques par structure et d'alimenter le corpus mis en place depuis 2018 dans l'optique d'une étude plus général des productions comme

57 Tréziny 2018, p. 326.

58 Parmi ce total, les céramiques issues des niveaux de décapage ou de nettoyage représentent cent quatorze fragments pour dix-sept individus.

59 Bernier 2018.

60 Bernier 2021b, p. 345.

61 De Miro 2000a e De Miro 2000b.

Estratto

par exemple l'analyse des provenances en collaboration avec des spécialistes des céramiques classiques et hellénistiques.

II. Le terrecotte architettoniche
D. Giuliano

Dal 2018 l'Università di Bordeaux-Montaigne è attiva nel sito dell'antica colonia greca di Akragas, in cui, sotto la direzione della Professoressa Laurence Cavalier, sono state condotte tre campagne di scavo. L'area indagata è quella del cosiddetto santuario ctonio e del limitrofo terrazzo di porta V. L'ultima campagna di scavo, svoltasi nel periodo 06-24 settembre del 2021, ha visto la collaborazione anche di studenti provenienti dall'Università di Mosca, e ha permesso di indagare tre aree differenti:
- il tempietto nei pressi della scarpata che costeggia porta V,
- una serie di vani lungo il margine settentrionale del santuario, tra i quali le cosiddette *aedicole,*
- il terrazzo a Ovest di porta V a ridosso del muro di fortificazione meridionale.

Le aree indagate hanno restituito una cospicua quantità di terrecotte architettoniche che sono in corso di studio da parte dello scrivente nell'ambito del proprio progetto di Dottorato di ricerca con l'Università degli Studi di Palermo, incentrato sui sistemi di copertura in epoca greca, specificamente sulle tegole.
L'analisi preliminare dei materiali rinvenuti durante la suddetta campagna di scavo ha restituito interessanti dati.

II.1. Saggio S5100 (Porta V)

Durante lo scavo in profondità sono stati rinvenuti diversi frammenti di tegole, buona parte delle quali costituita da produzioni di epoca classica. Tali produzioni sono ben riconoscibili dalle alette laterali le quali hanno la caratteristica forma a "quarto di cerchio".
Tra i materiali rinvenuti, di maggior interesse è il frammento di tegola arcaica, di cui si conserva il margine superiore. L'identificazione di questo manufatto, quale produzione arcaica, si deve alla presenza del listello, a sezione quadrangolare, posto a circa 5 cm dal margine superiore della tegola.
Altro elemento interessante è costituito dal frammento di *kalypter hegemon* (fig. 47) di cui si conserva una porzione della testata di sovrapposizione, con un cordone largo 10,50 cm. A causa della sua frammentarietà non possiamo ipotizzare, e neanche escludere, la presenza di un secondo cordone, di dimensioni ridotte, che fungesse da raccordo con il corpo del coppo come è attestato negli elementi architettonici della tipologia rinvenuta a Selinunte. Proprio in quest'ultima colonia è possibile trovare dei confronti[62] sebbene l'elemento agrigentino se ne discosti, difatti la superficie inferiore del cordone è leggermente concava mentre negli esemplari selinuntini è rettilinea.

II. 2. Saggi all'interno del Tempietto

La campagna di scavo del 2021 ha permesso di indagare una porzione interna della cella del tempietto grazie alla rimozione dei blocchi di calcarenite che ne occupavano l'area. Parallelamente allo scavo dell'edificio sacro, è proseguita l'indagine all'esterno della struttura presso l'angolo nord-orientale. Anche questi saggi hanno restituito nuovi e interessanti dati.
I reperti qui analizzati provengono da giacitura secondaria; emblematico è il ritrovamento di due frammenti di cordone dello stesso *kalypter hegemon*, che attaccano tra loro, provenienti da due UUSS differenti[63] (fig. 48).
Le terrecotte architettoniche rinvenute sono pertinenti a tegole la cui cronologia copre un ampio arco temporale, dal periodo arcaico a quello ellenistico-romano. A quest'ultima fase[64] si datano le cosiddette tegole a "orlo ispessito", ossia coppi caratterizzati dalla presenza di uno spesso orlo lungo il margine anteriore, con un profilo molto vario. Tra questi se ne segnala un esemplare con un'impressione digitale lungo il margine frontale dell'orlo (fig. 52).

62 Conti 2012, p. 268, fig. 267, n. 285.
63 Si tratta di due frammenti dello stesso cordone provenienti rispettivamente uno dalla US 2502, l'altro dalla US 2504.
64 Ad Agrigento le tegole a orlo ispessito hanno una cronologia molto ampia, dal II sec. a.C. al V sec. d.C.

Estratto

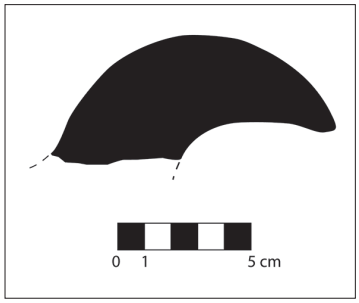


Fig. 47 - Disegno del cordone del *Kalypter Hegemon* rinvenuto nel saggio di Porta V (D. Giuliano).

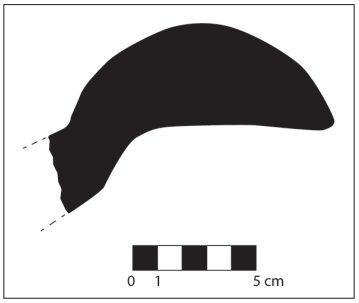


Fig. 48 - Disegno del *Kalypter Hegemon* rinvenuto nel Tempio (D. Giuliano).

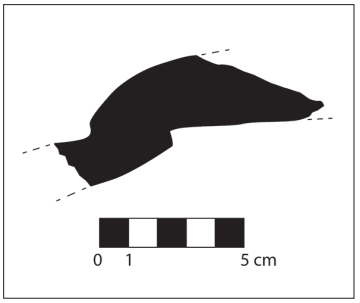


Fig. 49 - Disegno del *Kalypter Hegemon* rinvenuto nel Tempio. Nel margine inferiore sono evidenti i segni della lama usata per la realizzazione dell'incasso (D. Giuliano).

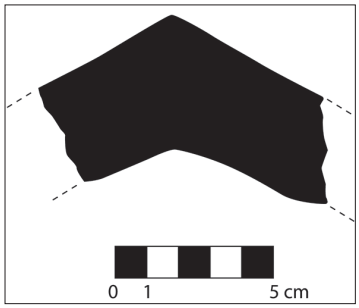


Fig. 50 - Disegno del coppo a sezione triangolare rinvenuto nel Tempio (D. Giuliano).

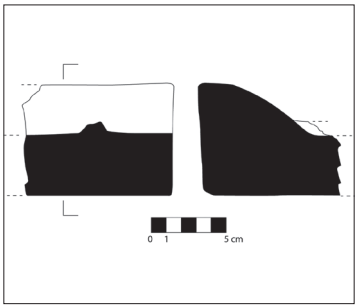


Fig. 51 - Disegno della tegola arcaica rinvenuta nel Tempio (D. Giuliano).

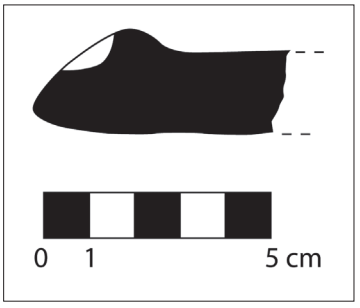


Fig. 52 - Disegno della tegola a orlo ispessito, con impressione digitale proveniente dal Tempio (D. Giuliano).

Tra gli elementi di interesse provenienti da quest'area, si riscontra la presenza di frammenti di tegole arcaiche. Come nel saggio di porta V il riconoscimento è stato possibile grazie alla presenza del piccolo listello, a sezione quadrangolare, poco prima del margine superiore della tegola piana (fig. 51).

A questo tipo di tegola sono da associare sporadici frammenti di coppi, i quali presentano un corpo spesso in media 3 cm. Per tali laterizi è ragionevole ipotizzare un profilo triangolare, dal momento che sono state rinvenute porzioni della parete rettilinea e un frammento del colmo (fig. 50).

Al periodo classico sono da datare i numerosi frammenti di tegole piane di cui si sono conservate le caratteristiche alette "a quarto di cerchio". In alcuni casi si sono rinvenuti anche alcuni esemplari di incassi. Sono da associare a questo tipo di tegole i coppi caratterizzati dalla sezione curva.

Come anticipato, tra i materiali rinvenuti si segnala la presenza di quattro frammenti di cordoni di *kalypteres hegemones*. Si tratta di cordoni per i quali non è stato trovato un puntale confronto. A causa della loro frammentarietà[65] non possiamo escludere la presenza di un altro cordone - di dimensioni più piccole - che fungesse da raccordo con il corpo come nei casi selinuntini. La porzione ricomposta dai due frammenti provenienti dalle due diverse UUSS, costituisce l'angolo anteriore di sinistra del coppo con un cordone pressoché identico a quello proveniente dalla US 2106. Un altro identico frammento, proveniente dalla US 2502, mostra chiaramente i segni dello strumento a lama utilizzato per la regolarizzazione della superficie inferiore del cordone, quello a contatto con il coppo contiguo (fig. 49).

65 Sono stati rinvenuti solo brevi porzioni del cordone di margine.

Estratto

Alla fase ellenistica, si datano alcuni frammenti di tegole piane la cui introduzione nella colonia sembra avvenire tra la fine del IV e gli inizi del III sec. a.C.; di questo particolare tipo di tegola piana si conservano pochi frammenti di listelli quadrangolari e in un caso anche un dente del margine anteriore. Probabilmente sono da associare a questo tipo di tegole piane alcuni sporadici frammenti di coppi i quali sono caratterizzati da un profilo rettilineo.
Alla fase repubblicana piena e poi a quella imperiale, si datano invece le tegole a orlo ispessito di cui sono stati rinvenuti dieci frammenti di differenti orli.

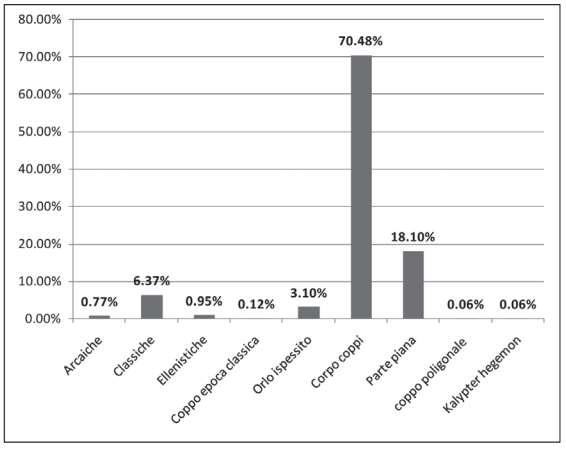


Fig. 53 - Tabella con le percentuali dei tipi di tegole rinvenute negli ambienti settentrionali del santuario (D. Giuliano).

II.3. Saggi area Portico Nord

Il gruppo più cospicuo delle terrecotte architettoniche rinvenute durante la campagna di scavo del 2021, proviene dall'indagine condotta negli ambienti a Nord dell'area santuariale dove sono state indagate alcune strutture connesse all'area sacra.
I laterizi sono stati trovati in giacitura secondaria, reimpiegati nella realizzazione di uno strato di preparazione di un piano (?).
I frammenti di tegole sono stati raccolti nella loro totalità[66]. La loro analisi ha permesso di constare che il nucleo più consistente fosse costituito da frammenti di corpo di coppi che costituivano il 70% del totale (fig. 53). Questo dato potrebbe indicare che essi provengono dal crollo di una copertura realizzata con tegole a orlo ispessito; come indicherebbe anche la presenza di diversi frammenti di orli[67].
Percentuali più contenute si hanno, invece, per le tegole di epoca classica e ellenistica, rispettivamente con il 6,3% e lo 0,9%. Da segnalare anche la presenza di tegole arcaiche (lo 0,7% del totale) simili a quelle rinvenute negli altri saggi. Alcuni esemplari conservano l'aletta laterale, che risulta essere più alta rispetto a quelle di epoca classica, e sono caratterizzati da un profilo rettilineo che termina in un breve piano orizzontale.

Da questo saggio provengono alcuni dei reperti più interessanti. Il primo è quello che potrebbe essere una tegola di gronda del lato lungo. Questa interpretazione si basa sul fatto che questa tegola presenta la parte terminale dell'aletta tagliata prima della cottura dell'elemento (fig. 54); plausibilmente la sua asportazione doveva essere funzionale al posizionamento di un'antefissa all'estremità. Tuttavia, il frammento non presenta il margine e, pertanto, non permette di ipotizzare la presenza di modanature o di decorazioni come è attestato in alcuni esemplari rinvenuti nella Sibaritide[68].
Un altro reperto interessante è costituito da un frammento di *kalypter hegemon* con parte dell'incasso per il coppo semicircolare. In questo esemplare si conserva anche la policromia. Tracce di nero sono presenti nel lato verticale di appoggio, mentre nel lato superiore, ad andamento lievemente convesso, si conservano tracce di colore rosso (fig. 55). Per la forma confronti stringenti si trovano a Selinunte con una generica cronologia tra la fase tardo-arcaica e quella classica[69].
Sulla base dei materiali rivenuti in questo saggio, in particolare quelli da collocare cronologicamente alla fase arcaica e tardo-arcaica, risulta suggestiva l'ipotesi che questi elementi di copertura possano appartenere al tempio che doveva sorgere a Est dell'attuale edificio sacro e di cui adesso si conserva il solo cavo di fondazione scavato nella roccia.

66 Da questi saggi provengono 1679 frammenti di tegole di diverse epoche.
67 Il 3,10% del totale dei frammenti.
68 Taliano Grasso, Pisarra 2019, pp. 252-253, figg. 5-6.
69 Conti 2012, p. 269, fig. 268, n. 287.

Estratto

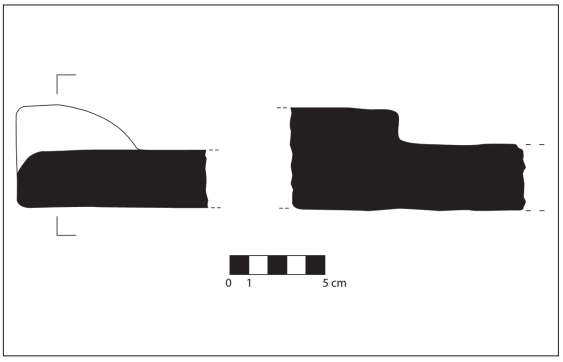


Fig. 54 - Disegno della tegola di gronda (D. Giuliano).

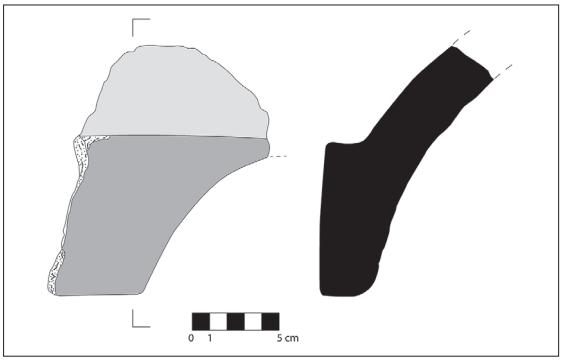


Fig. 55 - Disegno del *Kalypter Hegemon* con tracce di colore sulla superficie esterna (D. Giuliano).

C. ÉTUDES ARCHITECTURALES

L. Cavalier et J. des Courtils

Au cours de cette campagne, on a continué l'enregistrement des blocs gisant dans la zone du temple des Dioscures et du temple L. On dénombre cent quatre-vingt-dix-neuf blocs identifiables qui paraissent se répartir spatialement entre les emplacements des deux édifices, ce qui donne l'impression qu'ils n'ont pas été déplacés depuis leur dégagement. Le nombre de blocs caractéristiques (en particulier des éléments d'entablement) est assez élevé pour laisser espérer la possibilité d'une restitution approximative mais fiable du temple L et une étude approfondie du temple des Dioscures.

On a également profité du dégagement du *tempietto* pour répertorier les blocs qui gisaient à l'intérieur du temple mais aussi sur la terrasse à proximité. Une première étude a permis d'aboutir à deux constats:

- La présence de deux blocs de triglyphon et d'éléments de corniche dorique de même module permet de proposer une restitution globale de l'ordre du temple dorique voisin du *tempietto* à l'est (étude en cours) ;
- Au moins deux de ces blocs ont été réutilisés dans le soubassement de la tholos, ce qui apporte un indice intéressant dans le débat sur la chronologie relative des édifices.

D'autre part, on a découvert dans le massif construit, interprété par E. De Miro comme un autel double, deux blocs en remploi présentant des redans qui semblent s'apparenter à des décors de portes de type phénico-punique. L'étude de ces blocs et du massif construit dans lequel ils sont englobés devra être poursuivie et pourrait apporter des éléments importants pour la compréhension du contexte local.

D. TESTIMONIANZE POSTCLASSICHE DAL SETTORE OCCIDENTALE DELLA COLLINA DEI TEMPLI

V. Caminneci

La campagna di scavi 2021 ha restituito solo tre reperti posteriori all'età ellenistica. Le ricerche degli ultimi anni nel settore occidentale della collina dei templi hanno recuperato solo le tracce esigue di una sporadica frequentazione in età imperiale, che non ci consentono di comprendere quale fosse la fisionomia dell'area nella lunga durata e quale il destino dei monumenti di età classica. Ci sembra purtroppo assai fondato il timore che le campagne di scavo condotte nel settore occidentale della collina dei templi tra l'800 e la prima metà del secolo scorso, specie nel Santuario delle divinità ctonie, abbiano rimosso, insieme all'interro, le testimonianze di età post-antica.

Il primo reperto è un frammento di brocca in *sigillata A* con decorazione a rotella, rinvenuto durante la pulizia dello strato emerso dopo la rimozione dei blocchi dal tempietto[70]. I saggi eseguiti nel secolo scorso da De Miro hanno restituito pochissime attestazioni di ceramica fine africana della produzione A, databili tra il II e il III secolo d.C., un frammento di coppa lamboglia 4/36 A, dai pozzi, e, dall'area tra il portico e le edicole, una brocca

70 Inv. 2021-HS-C-8.

Estratto

frammentaria con decorazione a rotella[71]. Ancora De Miro segnala frammenti di sigillata italica dalla *plateia* a Nord, dai pozzi, dalle case a ovest di Zeus e dall'area delle edicole[72] e alcuni rinvenimenti numismatici compresi in un range cronologico compreso tra la fine del I secolo a.C. e il IV secolo d.C. Dalle fortificazioni meridionali proviene una moneta di Sesto Pompeo e due monete di IV secolo d.C. (Costantino, 326-330 d.C., Costantino II, 337-350 d.C.)[73], mentre, dal tempietto sono state recuperate una moneta di Augusto (23-17 a.C.) e una di Caro (282-283 d.C.)[74]. Un'altra moneta di Augusto è stata rinvenuta a Porta V e una di Antonino Pio presso la *plateia* a Nord[75]. Dall'area tra il portico e le edicole provengono, oltre a una moneta d'argento del 63 a.C. con Cerere, cinque monete in bronzo di Augusto, Tiberio, Domiziano, Adriano e Faustina[76]. Il secondo reperto in esame è un frammento di lucerna africana forma X, databile tra V e VI secolo, ancora dal tempietto[77]. Malgrado non possiamo dire di più considerato lo stato di conservazione, la lucerna documenta la frequentazione dell'area in età tardoantica. Nell'area dell'*Olympieion* e presso Porta V, il Griffo segnalava tombe molto strette e assai poco profonde di epoca tarda[78]. Non ci sono però elementi utili per un inquadramento cronologico preciso di queste evidenze, in parte distrutte per la creazione del piazzale d'ingresso all'area archeologica e che potrebbero essere il settore più occidentale della necropoli *sub divo,* impiantatasi dalla fine del III secolo d.C. su tutta la collina dei templi[79]. Testimonianze coeve sono state recuperate da De Miro da un pozzo del terrazzo dei donari[80]: alcune brocche di ceramica comune, di cui una decorata a motivi impressi[81], due tubuli fittili a siringa, frammentari, simili a quelli utilizzati nelle volte delle terme agrigentine[82] e una anforetta siciliana, contenitore per il vino o l'olio prodotta anche ad Agrigento, come conferma la recente scoperta delle fornaci nel suburbio a poche centinaia di metri da Porta V e dal porto[83].



Fig. 56 - Tarì d'oro da Porta V (Foto V. Caminneci).

Dalla pulizia superficiale del saggio sul lato interno del muro di fortificazione subito a Ovest di Porta V proviene il terzo reperto post-classico rinvenuto nella campagna 2021, un tarì d'oro di Ruggero I, emesso dalla zecca di Agrigento tra il 1085 e il 1101[84] (fig. 56). Il primo gran conte di Sicilia e Calabria conquistò la città, ormai del tutto islamizzata dopo quasi due secoli di dominazione araba. Al suo seguito giunse Gerlando di Besançon, nominato vescovo, al quale si deve la costruzione della Cattedrale sulla sommità del Colle di Girgenti, accanto al castello arabo.

La moneta rappresenta, a oggi, la prima attestazione altomedievale rinvenuta nel settore occidentale della collina dei templi.

Dall'area della città classica provengono altre testimonianze dell'età normanna[85]. Le indagini nelle officine ceramiche, realizzate nella necropoli paleocristiana, vicino alla cosiddetta Grotta di Fragapane

71 De Miro 2000, p. 239; 322. La brocca proviene dall'edicola 2 (cfr. *Atlante* I, p. 45, tav. XXI, 3).

72 De Miro 2000, pp. 161, 220, 239, 317-318, 323, tav. CXLVI. Un frammento di bollo in *planta pedis* (ME)MMI proviene dal tempietto di Porta V e dalle abitazioni a Ovest del tempio di Zeus il bollo P.COR (P. Cornelius).

73 De Miro 2000, p. 192 (tav. CLXIII, CLXV).

74 De Miro 2000, p. 161, tavv. CXLIII, CXLV.

75 De Miro 2000, p. 211, tav. CLXIII; p. 220, tav. CLXV.

76 De Miro 2000, p. 323, tavv. CLXII-CLXV.

77 Inv. 2021-2511-TCNC-1.

78 Griffo 1953.

79 Caminneci, Piepoli, Scicolone 2021, pp. 180-184.

80 Insieme a ceramiche e terracotte di età greca, in maggior numero, e due frammenti di lucerne Loeschke V e un frammento di casseruola africana a patina cinerognola.

81 Simili alle brocche bizantine (VII secolo d.C.) della necropoli di San Leone.

82 De Miro, Calì 2007, pp. 80-82, catt. 163-185, figg. 19-20, tav. XXX. Sulle terme di Agrigento (IV-V sec. d.C.): Caminneci, Parello, Rizzo 2020.

83 Rizzo 2014. Dal pozzo proviene anche un frammento di Mid Roman 1B.

84 Cm 1,4. D/Nel giro caratteri pseudocufici; nel campo lettera T con globetto entro doppio cerchio lineare; R/ Nel giro caratteri pseudocufici; nel campo, entro doppio cerchio, leggenda pseudocufica su tre righe e globetti (Travaini 1995 no.130; D'Andrea-Contreras 2013, no.94).

85 Nuovi dati sono emersi recentemente dalle indagini presso la Chiesa di San Biagio sulle pendici orientali della Rupe Atenea. in corso di studio da parte della sottoscritta.

Estratto



Fig. 57 - J.P. Houel, *Ruines du temple de Castor et Pollux*, Agrigente, 1785.



Fig. 58 - D. Lo Faso Pietrasanta duca di Serradifalco, Tempio di Castore e Polluce, 1843.

e attive tra l'XI e la fine del XII secolo d.C., hanno recuperato, oltre alla ceramica ivi prodotta – invetriata, comune, anfore – monete di Ruggero II, Guglielmo I e Guglielmo II[86].

Alla seconda metà del XII secolo risalgono le tombe presenti a Est, a Sud e all'interno della Chiesa di San Gregorio realizzata nel tempio della Concordia, indagate recentemente, insieme a un coevo impianto artigianale per la lavorazione della calce[87].

La definizione di *cava gigantum* per il tempio di Zeus, presente nei documenti medievali, è indicativa del destino di quest'area, saccheggiata per secoli[88]. Fazello, davanti al cumulo di rovine dell'*Olympieion*, ai suoi tempi chiamato volgarmente "palazzo di Zeus", racconta il crollo degli ultimi tre giganti con il terremoto del 1401[89]. Non è escluso che i blocchi del tempio siano stati utilizzati anche per la costruzione del molo al Caricatore di Girgenti, i cui lavori, voluti da Carlo III di Borbone, si protrassero tra il 1749 e il 1763. I documenti di archivio riferiscono anche di vigneti esistenti presso il tempio di Zeus, cui forse potrebbe essere legato il palmento rupestre scavato lungo la linea delle mura, a poche decine di metri da Porta V, in prossimità del ceramico di età greca a servizio del santuario delle divinità ctonie[90]. Scene di vita rurale tra le rovine sono ritratte nelle incisioni dei viaggiatori del *Grand Tour* (fig. 57). Un carteggio ritrovato all'Archivio di Stato di Palermo racconta di un contadino, che pascolava i buoi sui ruderi del tempio di Zeus e utilizzava come stalla la casetta adibita al ricovero delle sculture recuperate dagli scavi. E per questa ragione nel 1819 fu denunciato, per i gravi danni provocati dal bestiame, da Giuseppe Lo Presti, incaricato della cura dei monumenti antichi agrigentini dal regio custode della Val di Mazara[91]. Fu il Lo Presti, insieme a Salvatore Raimondi, su incarico del regio custode Mons. Airoldi, a iniziare nel 1802 gli scavi nell'*Olympieion*, con l'obiettivo, una volta sgombrato l'interno dai blocchi, di comprendere la pianta del colossale edificio templare. Nel 1812 l'architetto inglese Cockerell individuò uno dei Telamoni che fu interamente ricomposto nell'area della cella da Raffaello Politi[92].

Nella storia di quest'area è fondamentale il ruolo del regio custode Domenico Lo Faso Pietrasanta duca di Serradifalco, che realizza nel 1836, su progetto del prof. Villareale e degli architetti Domeni-

86 De Luca 2007, pp. 355-359.

87 Caminneci, Rizzo 2020, pp. 21-22. I dati archeologici rimandano al periodo in cui Guglielmo II, assecondando il vescovo Bartolomeo, riportò la chiesa di San Gregorio sotto il controllo della diocesi agrigentina, segnando la fine dell'autonomia di cui aveva goduto l'abbazia.

88 Collura 1961, p. 105. A proposito della spoliazione dei blocchi dei monumenti agrigentini, il vescovo Gualterius, *emptis multis bufalis fecit trahi lapides magnos de civitate veteri* (*Lib.de succ.pont.* Collura 1961, p. 307).

89 Fazello 1558, 1, 6.

90 *Vinea in contrata flomarie gigantum; vinea in contrata gigantum* (documento del 1270, Collura 1961, p. 215). La cronologia del palmento non è certa. Un altro palmento, costruito sulle strutture del ginnasio, si trova accanto a un corso d'acqua che scorre a poche decine di metri dall'*Olympieion*.

91 Castellana 1992.

92 Sui primi scavi nel tempio di Zeus, Carlino 2011, pp. 124-131.

Estratto



Fig. 59 - Cippo con iscrizione D.P., 1863 (Foto V. Caminneci).



Fig. 60 - Aratura nei pressi delle rovine dell'antica colonia di Akragas (Foto di Leonard von Matt, in L. Pareti, P. Griffo, *La Sicilia antica,* Genova 1959).

co e Saverio Cavallari, la ricostruzione "sentimentale" e non filologica dell'angolo nord occidentale del tempio cosiddetto dei Dioscuri. L'intervento, malgrado fosse scientificamente discutibile, incise in modo determinante sul contesto paesaggistico e sull'immaginario corrente, facendo del monumento uno dei simboli più cari della città[93] (fig. 58).
Infine segnaliamo una testimonianza significativa del processo di acquisizione al demanio statale dell'area archeologica. Lungo le mura meridionali, presso l'angolo SO dell'*Olympieion*, uno dei tredici piccoli cippi in pietra, con l'iscrizione D.P. (*demanio pubblico),* posizionati nel 1863 da Francesco Saverio Cavallari, direttore delle antichità di Sicilia, segna il limite della proprietà pubblica[94], sebbene i contadini continuassero a coltivare i terreni fino a poco tempo fa (figg. 59-60).

Bibliographie

Amyx, Lawrence 1975 = D.A. Amyx, P. Lawrence, *Archaic Corinthian Pottery and the Anaploga Well* (Corinth: Results of Excavations Conducted by the American School of Classical Studies at Athens. 7,2), Princeton 1975.

Beazley 1956 = J.D. Beazley, *Attic Black-figure Vase-painters,* Oxford 1956.

Bechtold 2013 = B. Bechtold, *Le anfore da trasporto da Cossyra: un'analisi diacronica (VIII sec. a.C.-VI sec. d.C.) attraverso lo studio del materiale della ricognizione,* in M. Almonte (ed.), *Cossyra II. Cossyra. Ricognizione topografica. Storia di un paesaggio mediterraneo,* 2013, pp. 409-517.

Bechtold 2015 = B. Bechtold, *Le produzioni di anfore puniche della Sicilia occidentale (VII-III/II sec. aC)*, Ghent 2015.

Bernier 2018 = M. Bernier, *Études céramologiques,* in L. Cavalier (ed.), *Mission archéologique «Sanctuaire des divinités chthoniennes d'Agrigente», Chronique des activités archéologiques de l'École française de Rome,* 2018 https://journals.openedition.org/cefr/2816.

Bernier 2021a = M. Bernier, *Présentation générale du mobilier archéologique,* in L. Cavalier, M. Bernier, E. Cayre, W. Aylward, A. Ivantchik, et Y. Svoyski (edd.), *Le sanctuaire des divinités chthoniennes à Akragas: les fouilles de 2019,* in *CronA* 39, Roma 2021, pp. 336-337.

Bernier 2021b = M. Bernier, *Pré-étude du mobilier céramique,* in L. Cavalier *et alii* (edd.), 2021, pp. 337-352.

Bremmer 2005 = J.N. Bremmer, *Performing Myths: Women's Homes and Men's Leschai,* in S. des Bouvrie (ed.), *Myth and Symbol,* Athens 2005, pp. 123-140.

93 D. Lo Faso Pietrasanta Duca di Serradifalco, *Vedute pittoriche degli antichi monumenti della Sicilia su disegni del Duca di Serradifalco,* Palermo 1843.
94 Un altro si trova davanti alla fronte orientale del tempio della Concordia: Caminneci, Piepoli, Scicolone 2021, p. 204.

Estratto

Brijder *et alii* 1996 = H.A.G. Brijder, P. Heesen, J.T. Smit-Lub, O.E. Borgers, *CVA Amsterdam, Allard Pierson Museum* 2, *Netherlands* 8, 1996.

Buiskikh 2013 = A.V. Buiskikh, *Arkhaicheskaya raspisnaya keramika iz Ol'vii,* Kiev 2013.

Burkert 1993 = W. Burkert, *Lescha-Liskah Sakrale Gastlichkeit zwischen Palästina und Griechenland,* in B. Janowski, K. Koch, G. Wilhelm (edd.), *Religionsgeschichtliche Beziehungen zwischen Kleinasien, Nordsyrien und dem Alten Testament*: internationales Symposion Hamburg, 17.-21. März 1990, Orbis Biblicus et Orientalis, 5, 129, Göttingen 1993.

Buxton 1994 = R. Buxton, *Imaginary Greece: The contexts of mythology*, Cambridge 1994.

Caminneci, Parello, Rizzo 2020 = V. Caminneci, M.C. Parello, M.S. Rizzo, Hic corpus reparans mentemque relaxans (Anth., 119R). *Le Terme dell'*insula *IV del Quartiere Ellenistico-Romano di Agrigento,* in V. Caminneci, M.C. Parello, M.S. Rizzo (edd.), *Le forme dell'acqua, Approvvigionamento, raccolta e smaltimento*, Atti delle XII Giornate Gregoriane, Bologna 2020, pp. 185-197.

Caminneci, Piepoli, Scicolone 2021 = V. Caminneci, L. Piepoli, G. Scicolone, *La Valle dopo gli antichi. La campagna di scavi del 2019. Parte 1*, in *Thiasos* 2021, 10.1, pp. 197-214.

Caminneci, Rizzo 2020 = V. Caminneci, M.S. Rizzo, *La Valle dopo gli antichi. Nuove ricerche nella Valle dei Templi di Agrigento,* in *Sicilia Antiqua* 17, 2020, pp. 11-23.

Carlino 2011 = A. Carlino, *Tutela e conservazione dei monumenti agrigentini (1779-1803)*, in *Sicilia Antiqua* 8, 2011, pp. 101-142.

Castellana 1992 = G. Castellana, *Su un carteggio inedito esistente nell'Archivio di Stato di Palermo relativo soprattutto al tempio di Zeus di Agrigento,* in *Annali della Scuola Normale Superiore di Pisa. Classe di Lettere e Filosofia* Serie 3, Vol. 22, 1, 1992, pp. 43-69.

Collura 1961 = P. Collura, *Le più antiche carte dell'Archivio Capitolare di Agrigento, 1092-1282*, Palermo 1961.

Conti 2012 = M.C. Conti, *Le terrecotte architettoniche di Selinunte. Tetti del VI e V secolo a.C. Museo civico di Casteltrano e Parco Archeologico di Selinunte*, Pisa-Roma 2012.

Damyanov 2015 = M. Damyanov, *Votive and Other Pottery from a Sanctuary of Demeter in Apollonia Pontica,* in M. Manoledakis (ed.), *The Black Sea in the Light of New Archaeological Data and Theoretical Approaches,* Proceedings of the 2nd International Workshop on the Black Sea in Antiquity Held in Thessaloniki, 18-20 September 2015, pp. 119-137.

D'Andrea, Contreras 2013 = A. D'Andrea, V. Contreras, *The Normans's coins of the Kingdom of Sicily*, Ariccia 2013.

De Luca 2007 = M.A. De Luca, *Monete e gettoni di epoca araba e normanna,* in R.M. Bonacasa Carra, F. Ardizzone (edd.), *Agrigento dal Tardo Antico al Medioevo. Campagne di scavo nell'area della necropoli paleocristiana. Anni 1986-1999*, Todi 2007, pp. 351-359.

De Miro 2000 = E. De Miro, *Agrigento. I santuari urbani. L'area sacra tra il tempio di Zeus e Porta V,* Roma 2000.

De Miro, Calì 2007 = E. De Miro, V. Calì, *Agrigento*. III, *I santuari urbani. Il settore occidentale della collina dei templi: il terrazzo dei donari*, Pisa-Roma 2007.

Dunbabin 1962 = T.J. Dunbabin, *Perachora: the Sanctuaries of Hera Akraia and Limenia. Excavations of the British School of Archaeology at Athens 1930-1933.* 2. *Pottery, Ivoires, Scarabs, and Other Objects from the Votive Deposit of Hera Limenia Excavated by Humfry Payne*, Oxford 1962.

Fazello 1558 = T. Fazello, *De rebus siculis decades duae,* Palermo 1558.

Fiorentini 2011 = G. Fiorentini, *Agrigento. Le fortificazioni: catalogo dei materiali*, Roma 2011.

Gassner, Sauer 2015 = V. Gassner, R. Sauer, *Transport amphorae from Velia, FACEM* (version 06/06/2015): http://www. facem.at/project-papers.php.

Griffo 1953 = P. Griffo, *Gli scavi nel settore occidentale delle zona archeologica di Agrigento*, Palermo 1953, pp. 1-28.

Hadzisteliou-Price 1978 = Th. Hadzisteliou-Price, *Kourotrophos: Cults and Representations of the Greek Nursing Deities,* Leiden 1978.

Heesen 2011 = P. Heesen, *Athenian Little-master Cups*, Amsterdam 2011.

Estratto

Howland 1958 = R.H. Howland, *Greek Lamps and their Survivals* (*The Athenian Agora: Results of Excavations Conducted by the American School of Classical Studies at Athens, Vol. 4*), Athens 1958.

Kerschner, Schlotzhauer 2005 = M. Kerschner, U. Schlotzhauer, *A New Classification System for East Greek Pottery*, in *Ancient West and East* 4, 2005, pp. 1-56.

Liseno 2004 = M.G. Liseno, *Metaponto: il deposito votivo Favale,* Roma 2004.

Marchetti, Parisi 2016 = C.M. Marchetti, V. Parisi, *I santuari di Saturo: contesti, materiali e forme rituali nella chora Tarantina*, in A. Russo Tagliente, F. Guarneri (edd.), *Santuari mediterranei tra Oriente e Occidente*, Roma 2016, pp. 485-498.

Marconi 1933 = P. Marconi, *Agrigento arcaica: il santuario delle divintà Chtonie e il tempio detto di Vulcano*, Roma 1933.

Monakhov 2003 = S.Yu. Monakhov, *Grecheskie amfory v Prichernomor'ye. Tipologiya amfor vedushikh tsentrov-éksporterov tovarov v keramicheskoi tare,* Moscou 2003.

Païn 2015 = S. Païn, *Manuel de gestion du mobilier archéologique; méthodologie et pratiques*, DAF 109, Éditions de la Maison des sciences de l'homme, Paris 2015.

Payne 1631 = H. Payne, *Necrocorinthia: a Study of Corinthian Art in the Archaic Period*, Oxford 1631.

Poli 2006 = N. Poli, *A proposito del vasellame miniaturistico nei contesti cultuali dell'Italia meridionale*, in *Quaderni Friulani di Archeologia* 16, 2006, pp. 239-246.

Ramón 1995 = T.J. Ramón, *Las ánforas fenicio-púnicas del Mediterráneo central y occidental*, Barcelona 1995.

Risser 2001 = M.K. Risser, *Corinthian Conventionalizing Pottery* (*Corinth: Results of Excavations Conducted by the American School of Classical Studies at Athens, 7,5*), Princeton 2001.

Rizzo 2014 = M.S. Rizzo, *Produzioni agricole ed officine ceramiche ad Agrigentum in età tardoromana,* in V. Caminneci (ed.), *Le opere e i giorni. Lavoro, produzione e commercio tra passato e presente*, Palermo 2014, pp. 201-224.

Sacchetti 2012 = F. Sacchetti, *Les amphores grecques dans le Nord de l'Italie. Echanges commerciaux entre les Apennins et les Alpes aux époques archaique et classique* (Bibliothèque d'Archéologie Méditerranéenne et Africaine 10), Marsiglia 2012.

Sourisseau 2006 = J.C. Sourisseau, *Les amphores commerciales de la nécropole de Rifriscolaro à Camarine. Remarques préliminaires sur les productions corinthiennes de type A*, in P. Pelagatti, G. Di Stefano, L. De Lachenal (edd.), *Camarina 2600 anni dopo la fondazione: nuovi studi sulla citta e sul territorio.* Atti del convegno internazionale, Ragusa, 7 dicembre 2002/7-9 aprile 2003, Roma 2006, pp. 129-147.

Taliano Grasso, Pisarra 2019 = A. Taliano Grasso, V. Pisarra, *Alla periferia dell'impero. Terrecotte architettoniche della chora sibarita*, in P. Lulof, I. Manzini, C. Rescigno (edd.), *Deliciae Fictiles V. Network and workshops architectural terracottas and decorative roof systems in Italy and beyond* (Napoli 15-17 marzo 2018), Oxford 2019, pp. 249-260.

Travaini 1995 = L. Travaini, *La monetazione nell'Italia normanna* (Nuovi Studi Storici, 28 - Istituto Storico Italiano per il Medioevo), Roma 1995.

Tréziny 2018 = H. Tréziny, *Mégara Hyblaea* 7. *La ville classique, hellénistique et romaine* (Collection de l'Ecole Française de Rome 1/7), Roma 2018.

Trombi 2007 = C. Trombi, *Ceramica attica dai santuari di Agrigento*, in S. Fortunelli, C. Masseria (edd.), *Ceramica attica da santuari della Grecia, della Ionia e dell'Italia.* Atti del convegno, Perugia 2007, pp. 14-17.

Vandermersch 1994 = C. Vandermersch, *Vins et amphores de Grande Grèce et de Sicile: IV^e^ et III^e^ s. avant J.-C.*, Centre Jean Bérard, Naples 1994.

Estratto

RIASSUNTO - La missione archeologica dell'Università di Bordeaux Montaigne, realizzata in collaborazione con il Parco Archeologico della Valle dei templi di Agrigento, è denominata "Santuario delle divinità ctonie di *Akragas*" ed è stata ripresa nel settembre del 2021, dopo il blocco causato dalla pandemia.
I saggi hanno interessato l'area del *Tempietto* di cui si presentano i dati emersi in fase di studio.

SUMMARY - The archaeological mission of the University of Bordeaux Montaigne, carried out in collaboration with the Archaeological Park of the Valley of the Temples of Agrigento, is called "Sanctuary of the Chthonic Deities of Akragas" and was resumed in September 2021, after the blockade caused by the pandemic.
The essays concerned the area of the *Tempietto* of which the data emerged during the study.

Keywords: *Akragas*, Chthonic gods, santuary, *Tempietto*, archaeological mission

Parole chiave: *Akragas*, divinità ctonie, santuario, *Tempietto*, missione archeologica

Estratto